



Zdravotně  
sociální fakulta  
Faculty of Health  
and Social Sciences

Jihočeská univerzita  
v Českých Budějovicích  
University of South Bohemia  
in České Budějovice

Jihočeská univerzita v Českých Budějovicích

Zdravotně sociální fakulta

Bakalářská práce

# Krevní paraziti rejnoků na Svalbardu

Vypracovala: Anežka Jakešová

Vedoucí práce: doc. RNDr. Oleg Ditrich, CSc.

Titulní specialista: RNDr. Tomáš Týmľ

České Budějovice 2017

**Prohlašuji, že svoji bakalářskou práci jsem vypracovala samostatně pouze s použitím pramenů a literatury uvedených v seznamu citované literatury.**

**Prohlašuji, že v souladu s § 47b zákona č. 111/1998 Sb. v platném znění souhlasím se zveřejněním své bakalářské práce, a to v nezkrácené podobě elektronickou cestou ve veřejně přístupné části databáze STAG provozované Jihočeskou univerzitou v Českých Budějovicích na jejích internetových stránkách, a to se zachováním mého autorského práva k odevzdanému textu této kvalifikační práce. Souhlasím dále s tím, aby toutéž elektronickou cestou byly v souladu s uvedeným ustanovením zákona č. 111/1998 Sb. zveřejněny posudky kolektivu a oponentů práce i záznam o průběhu a výsledku obhajoby kvalifikační práce. Rovněž souhlasím s porovnáním textu mé kvalifikační práce s databází kvalifikačních prací Theses.cz provozovanou Národním registrem vysokoškolských kvalifikačních prací a systémem na odhalování plagiátů.**

V Českých Budějovicích dne 1. 5. 2017

Anežka Jakešová

Touto cestou bych ráda poděkovala svému vedoucímu práce doc. RNDr. Olegu Ditrichovi, CSc. za zadání tohoto tématu bakalářské práce, za odborné vedení po celou dobu, užitečné rady a informace. Dále bych chtěla poděkovat RNDr. Tomáši Týmlovi za asistenci při praktické části, za pomoc s fylogenetickou analýzou a za obrovskou trpělivost. V neposlední řadě bych ráda oběma poděkovala za poskytnutý materiál. Mé díky patří také Mgr. Martinovi Kostkovi, PhD. za nově navržené primery, které jsem mohla použít v této práci.

## Abstrakt

Tato bakalářská práce se zabývá poznatky krevních parazitů ryb a paryb. V tomto případě zejména rejnoka *Amblyraja radiata*. Krevní nátěry ryb a paryb pro tuto studii byly získány ze Svalbardu, kterým se zabývám v úvodu. V teoretické části popisují rozdíl mezi parybami, dále popisují obecný parazitismus. V další části popisují zmiňované krevní parazity, motolice a hlístice které se také mohou objevovat v krvi obratlovců. Mezi krevní parazity patří i *Haemogregarina delagei*, který je jediným parazitem nalezeným na krevních rozmazech rejnoka *A. radiata*, a *Desseria myoxocephali* u vranky *Myoxocephalus scorpius*. Na Svalbardu jsou *A. radiata* infikovány *H. delagei* s vysokou prevalencí (90 %).

V praktické části jsem se zabývala všemi kroky vedoucími k získání části sekvence genu pro 18S rRNA. Vyizolovanou DNA z krve rejnoků jsem přidala do několika různých směsí PCR, které se lišily použitou polymerázou, pufrům nebo primery. Velikost získaných PCR produktů jsem posoudila pomocí agaróзовé elektroforézy, izolovala je pomocí komerčního typu (Expin Combo, GeneAll) a zaslala na primární sekvenování firmě Seqme nebo použila pro molekulární klonování. Úspěšně klonované úseky DNA jsem izolovala z kompetentních buněk pomocí kitu (Hybrid-Q Plasmid, GeneAll) a nechala opět sekvenovat v servisní firmě Seqme. Sekvence tohoto parazita jsou nejbližší k *Desseria myoxocephali* a nasvědčují hypotéze, že *Haemogregarina* není monofyletickým rodem.

Klíčová slova:

Krevní paraziti; Rybí paraziti; Svalbard; *Amblyraja radiata*; *Haemogregarina delagei*;

## Abstract

This Bachelor's thesis is about blood parasites of fish and chondrichthyes. In this case especially thorny skate *Amblyraja radiata*. Blood smears of fish and chondrichthyes for this thesis were obtained from Svalbard, which I deal with at the beginning. In the theoretical part, the division of the chondrichthyes as well as parasitism in general are described. In the following description I mentioned blood parasites, trematodes and nematodes, which can also appear in the blood of the vertebrates. The blood parasites also includes *Haemogregarina delagei*, which is the only parasite found on blood smears of thorny skate *Amblyraja radiata* and *Desseria myoxocephali* on fish *Myoxocephalus scorpius*. *A. radiata* are infected by *H. delagei* in high prevalence (90 %) on Svalbard.

In the practical part, I have dealt with all the steps to gain part of the gene 18S rRNA. Isolated DNA from ray blood was added in several different mixtures PCR products, which were different by polymerase buffer or primers. I obtained the size of the PCR products by agarose electrophoresis, isolated by commercial type (Expin Combo, GeneAll) and sent to the Seqme company for a direct sequencing, or I used it for molecular cloning. I isolated well-cloned DNA segments from competent cells by using a kit (Hybrid-Q Plasmid, GeneAll) and sequenced in the Seqme service company again. Obtained sequences are similar to *Desseria myoxocephali*, and it reflects the hypothesis, that *Haemogregarina* is not monophyletic genus.

Key words:

Blood parasites; Fish parasites; Svalbard; *Amblyraja radiata*; *Haemogregarina delagei*;

## Obsah

1. Úvod .....	7
1.1. Svalbard .....	7
2. Paryby - Chondrichthyes .....	9
2.1. Elasmobranchii .....	9
2.2. Chiméry - Holocephali .....	10
2.3. Paryby v Arktid .....	11
2.4. <i>Somniosus microcephalus</i> - fralok grónský .....	11
2.5. <i>Amblyraja radiata</i> ó rejnok hv zdnatý .....	13
3. Parazitismus .....	15
4. Krevní paraziti .....	15
5. Trematoda .....	15
5.1. Sanguinicolidae .....	15
5.2. Schistosomatidae .....	16
6. Nematoda .....	17
6.1. Fillaridae .....	17
7. Kinetoplastida .....	17
7.1. <i>Leishmania</i> .....	17
7.2. <i>Trypanosoma</i> .....	18
8. Apicomplexa .....	19
8.1. Malarie .....	21
8.2. <i>Haemogregarina</i> .....	22
9. Materiál a metody .....	28
9.1. Materiál .....	28
9.2. Metody .....	28
9.2.1. Mikroskopická diagnostika .....	28
9.2.2. Molekulární diagnostika .....	29
10. Výsledky .....	36
11. Diskuse .....	41
12. Záv ry .....	43
13. Literatura .....	44
14. Seznam zkratek .....	53

# 1. Úvod

## 1.1. Svalbard

Svalbard je souostroví, které se nachází v Severním ledovém oceánu rozprostírající se mezi 74° a 81° severní šířky a mezi 10° a 34° východní délky. Skupina ostrovů se skládá z největšího Thymicberky, Nørdaustlandet, Barestsøya, Endeøya, Prins Karls Førland, Bjørnøya, Kvitøya, Kongsøya, Svenskøya a Wihelmøya (Hisdal, 1998). Celková rozloha ostrovů je 62 050 km<sup>2</sup> (Adam Grydehøj, 2012). Ze 60 % jsou Thymicberky pokryty sněhými pláňkami nebo ledovci, které pozvolna ustupují. 30 % je pokryto neplodnou půdou (skálami, sutinami, říčními kámi). (Land et al., 2009). Méně než 10 % tvoří vegetace. Stálá populace na Svalbardu je asi okolo 3000 obyvatel, kteří žijí na západním pobřeží Thymicberk (Grydehøj, 2012). Hlavním městem je Longyearbyen (Land et al., 2009).



Obr. 1 Mapa Svalbardu (převzato z wikipedie: URL 1)

Podnebí je ovlivováno Severním Atlantikem, Golfským proudem se západní pobřeží otepluje. V letních měsících se teplota pohybuje kolem 5 °C s výskytem mlhy, v zimním období teplota klesá k -12 °C, převládá tma a silný vítr (Hagen, 1993).

Je zde několik hlavních zdrojů odtoku sladké vody do moře. Tání ledovců, tání sněhu a vodopády v létě. Tento přítok sladké vody je nejvyšší v letních měsících. Svalbard je 8-9 měsíců v roce pokryt ledem. Ke změnám dochází v závislosti na letním tání (Hisdal, 1998).

Fjordy se tvoří zaplavením ledovcových údolí. Výška vody ve fjordech se pohybuje v závislosti na ročním období (Prominska, 2013).

Lidé zde jsou zaměřeni hlavně na lov, rybaření, vědecký průzkum, průmyslovou těžbu uhlí a turismus. Speciálně potápění je velmi fascinující kvůli široké škále druhů podmořské flivy i fauny. Souostroví Svalbard je pravděpodobně nejlépe chráněná přírodní rezervace na světě. Našli bychom zde i několik národních parků, kam je v určitých obdobích přísný zákaz vstupu (Hisdal, 1998).

Život rostlin a živočichů musí být přizpůsobený k extrémním životním podmínkám jako jsou nízké teploty a neobvyklé světelné podmínky. Dalšími důležitými ekologickými faktory jsou sněžové podmínky na pevnině, rozsah a variace mořského ledu (Hisdal, 1998). I přes drsné přírodní podmínky zde žijí různé druhy rostlin. Kořeny pronikají do země, kde absorbují vodu a živiny. Významnou plochu tvoří mechy a lišejníky. Na horských svazích, které jsou pokryty sněhem roste mnoho druhů bylin, pryskyřníky, dryádka, vrba polární a jiné (Rønning, 1996).

Mezi savci bychom zde mohli vidět sobařského, lišku a introdukovaného hraboše v lidských sídlech (Hisdal, 1998). Ve Fjordských se jich vyskytuje asi 36 druhů ptáků. V létě dochází k migraci mnoha mořských ptáků. Mnozí ptáci přelétají do Arktidy pouze na letní období od června do září. Většina arktických ptáků se živí hubami nebo polární treskou (Weslawski, 2013). Významným zdrojem živin i pro suchozemské organismy jsou mořští živočichové, zejména ryby. Žije zde něco přes 150 druhů ryb. Z mořských savců zde žijí velryby, delfíni, tuleni, mrofi nebo lední medvědi, kvůli kterým je třeba dodržovat určitá bezpečnostní opatření. Největší arktickou parybou je fialok grónský (Weslawski, 2013). Ve vodách se vyskytují tresky, například - *Gadus morhua*, *Boreogadus saida* a fialoci, rejnoci, jejichž kostry jsou chrupavkaté. Rejnoci jsou přizpůsobeni životu na dně. Ve svalbarských vodách bylo zaznamenáno 4-5 druhů rejnoků, kam patří i velmi bohatý druh *Amblyraja radiata* (Dolgov, 2002).



## 2. Paryby - Chondrichthyes

Paryby (Chondrichthyes) jsou p eváfn mo -tí flivo ichové, jejichfl skupina je tvo ena Elasmobranchii (fřaloky a rejnoky) a Holocephali (chimérami). Elasmobranchii jsou dominantní flující skupinou z paryb, tvo í asi 96 %, zbylé 4 % vypl ují Holocephali (Hamlett, 1999). Celkov je známo 1193 druh paryb z ehofl 48,7 % jsou považovány za hlubinné. V t-inovou ást tvo í řřaloci (278 druh ), rejnoci (258 druh ) a chiméry (46 druh ) (Yopak, 2007). Skupina jako celek nemá kosti, ale jejich kostra se skládá z m kých, pruřných chrupavek lemovaných tvrdou tkání (Dean et al. 2005).

flující paryby zaujímají rozmanitost od pob efní vody, útes , otev ených oceán , hluboké a vyskytují se ve vodách od trop řfl po Arktidu a Antarktidu. V t-inu flivota tráví 200 m hluboko pod vodou (Yopak et al., 2007).

V-echny paryby mají pár hrudních a b i-ních ploutví na obou ástech t la, 4-7 pár řlaberních -t řbin na bocích nebo ze spoda hlavy. Paryby jsou ale také schopné dýchat skřz nozdry, které se nacházejí v horní ásti v-ech rejnok a n kterých řřalok . Tyto otvory jim umořl ují odpo ívat na dn oceánu a řrpat okysli enou vodu. Nemají ov-em plíce ani plynový m chý . Na základ specializovaných smyslových orgán na hlav , dokáři paryby rozpoznat zm ny elektrických proud (Hamlett, 1999). Velikosti mozku u paryb jsou rozřilné (Yopak et al., 2007). Mají mnoho smyslových senzor a jejich chování je p izp sobené k flivotu v hlubokých prost edních k p eřití (Merrett and Haedrich, 1997). Ve srovnání s ostatními parybami mají hlubinné typy řřalok a Chiméry pr m rn niřř velikost mozku vřledem k velikosti jejich t la (Kotrschal et al., 1998).

Reprodukce je u v-ech druh podobná. Na rozdíl od ryb, mají v-echny paryby vnit ní oplodn ní (fertilizaci). K oplodn ní dochází p es sam í párové orgány ó klaspery. Potomci se líhnou z vaje ných kapsulí (Hamlett, 1999). Oproti rybám mají paryby malou plodnost a dopívají pozd . Reprodukce mezi řřaloky a rejnoky m řle být odli-ná (Garcia, Lucifora and Myers, 2008).

Ařl na pár výjimek sladkovodních rejnok a řřalok je drtivá v t-ina paryb mo řkého p vodu (Heinicke, 2009).

### 2.1. Elasmobranchii

řřaloci a rejnoci mají odli-nou kostru t la, ov-em mají n kolik b řlných spole ných vlastností. T lo řřaloka m řle být rozd leno na hlavu (od enichu po řřábry), trup (od pletence

ramenního k otvoru) a ocas. U rejnok se trup a ocas funkčně doplují a k pohybu slouží prsní ploutve, které sjednocují prsní část s hlavou a trupem (Hamlett, 1999).

Vnější povrch většiny řívalok a rejnok je pokryt vroubkovanou kůží (vroubky nejsou větší než 2 mm) nebo šupinami, a kolivní řívaloci a rejnoci mají hladký bledý povrch. Většiční řívaloci mají ocasní ploutev, zatímco rejnok má tuto ploutev chybět. Většina řívalok má dvě hřbetní ploutve (někteří řívaloci mají jen jednu hřbetní ploutev). Rejnoci mohou mít dvě hřbetní ploutve, jednu, nebo vůbec žádnou. Na hlavě se nacházejí oči, nozdry, proužky, flábry a endolymfatické póry (na zadní části hlavy za oči, které komunikují s vnitřním uchem). Oči jsou velké a dobře vyvinuté u většiny řívalok a rejnok a jsou chráněny víčky. Stejně jako mnoho dalších nočních savců mají vnitřní oka pokrytá membránou, která odráží světlo zpět do oka pro lepší vidění v tmě. Nozdry jsou velmi dobře vyvinuté, dokáží díky nim detekovat malé koncentrace látek (například krev) z velké vzdálenosti (to platí i pro rejnoky). Voda se pohybuje přes nosní dutinu, čímž se mohou řívaloci a rejnoci pohybovat. Někteří rejnoci a řívaloci se pohybují také způsobem pumpování vody do úst skrz flábry, což jim také napomáhá erpat vodu skrz nozdry (Hamlett, 1999).

Jejich zuby tvoří několik řad. Zuby Elasmobranchii jsou zakotvené v pojivové tkáni pokrývající chrupavky elisty (James 1953).

Endoskeleton Elasmobranchii se skládá z hyalinu (sklovitá bezbarvá hmota) a vápencové chrupavky. Chrupavitá kostra embrya Elasmobranchii vytrvává do dospělosti a není přeměněna v kosti jako je tomu u obratlovců (Hamlett, 1999). A kolivní většina řívalok a chimér mají obecně válcovitý tvar těla, někteří řívaloci a zbytek Elasmobranchii jsou dorsoventrálně zploštělé (Heinicke, 2009).

## **2.2. Chiméry - *Holocephali***

Chiméry jsou charakteristický dlouhým úzkým tělem a velkou hlavou. Délka dospělého jedince se v průměru pohybuje mezi 60 cm až 1 m (včetně ocasu). Jejich povrch je v dospělosti zcela šupinatý (Didier et al., 2012).

Většiční Chiméry mají dvě hřbetní ploutve a jednu ocasní, prsní a pánevní ploutve jsou v páru. Flábry jsou koncertované pod neurocraniumem a ukryty pod příklopkou. Od řívalok a rejnok se liší v počtu flaber (mají 4 páry flaberních pářic). Voda prochází přes dutinu ústní přes několik interbraniálních prostor do malé společné pabranchiální komory, které jsou ohraničeny příklopkou. Chiméry mají 6 zubních desek ve třech párech. Jeden pár se nachází v horní elisti a zbylé dva v dolní elisti. Nemají žádný žaludek. Jsou sexuálně dimorfní, což znamená,

ře rozdíl není pouze v pohlavních orgánech, ale také ve velikosti těla, zbarvení, tvaru a jiném (Didier et al., 2012).

### **2.3. Paryby v Arktid**

Paryby úspěšně kolonizují jak v arktickém, tak mimo arktickém mořském prostředí (Nelson, 2006). Rejnoci jsou nejpočetnější skupinou z paryb v Arktid . řele Rajidae je dominantou ve studených vodách v arktickém prostředí. Celosvětově existuje něco okolo 150-220 druhů (Stehmann and Burkel et al.1990). Výskyt rejnoků je kosmopolitní, ovšem nejvíce zastoupení mají v mnohých hlubokých vodách, v polárních a mírných oblastech.

řiralozi se v Arktidě nacházejí velmi zřídka (Yopak et al., 2007). Norské moře, Barentsovo moře a Beringovo moře jsou nejvíce bohaté regiony na druhy paryb. Jsou součástí Arktidy, která se vyznačuje atlantickými a pacifickými vodami (Mecklenburg et al., 2002). Paryby jsou dobře přizpůsobené k životu v arktickém oceánu a p ílehlých vodách, a koliv mnoho druhů se zde objevilo pouze zřídka nebo zde byly nalezeny pouze jednou (Garcia et al., 2008).

### **2.4. *Somniosus microcephalus* - řiralok grónský**

řiralok grónský má mohutné tělo válcovitého tvaru, které se zužuje směrem k ocasu a širokou hlavu se zaobleným rypcem. Nozdry se nacházejí bl íře ke řpící řenichu. Oči jsou malé (Yano et al., 2004). Prsní ploutve jsou malé a zakulacené před nimi ře nacházejí 5 řaberních otvorů . řiralok má dvě malé řbetní ploutve. První řeflí ř íblířn v polovině těla, druhá je vzadu za řbířní ploutví. Ocasní ploutev má v zadní řraně mnoho řázek , je veliká a široká (MacNeil, 2012).



Podle vdeckých odhadů se flralok grónský může doflívá nejmén 272, mnohdy až 400 let (Nielsen, 2016).

### 2.5. *Amblyraja radiata* ó rejnok hv zdnatý

*Amblyraja radiata* patří do třídy Chondrichthyes, řádu Rajidae a rodu *Amblyraja* (Smith, 2011).

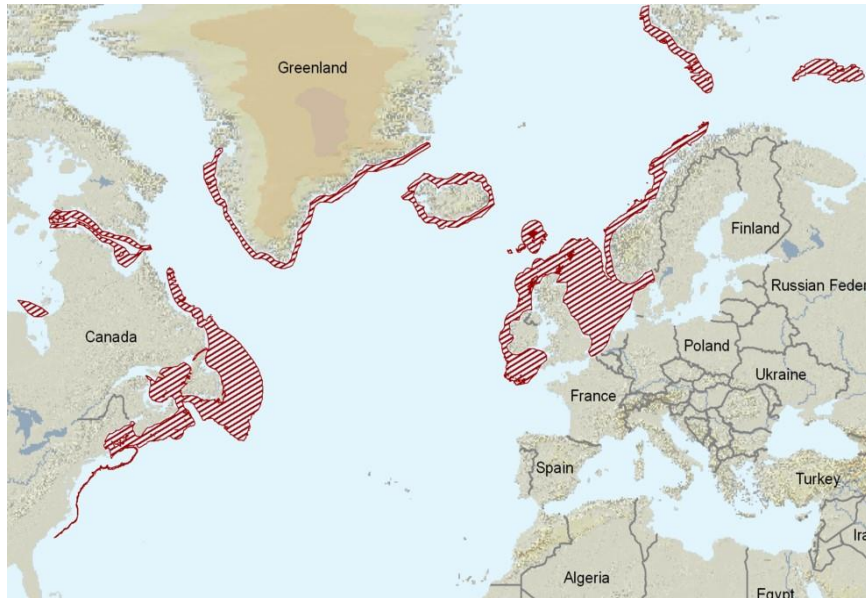


Obr. 3 (převzato z Elasmodiver: URL 3)

Rod *Amblyraja* se vyznačuje zploděným tělem. Počet zubů se mírně liší podle dané oblasti, ale pohybuje se mezi 36-46 v horní i dolní řadě. Jednou z nejvýznamnějších charakteristik je řada velkých nápadných trnů podél střední osy na hřbetní ploutvi a ocasu. Ve středové řadě se jich nachází od 1-19. Někdy lze trny nalézt i nad oči. (Lynghammar, 2014). Dorsální povrch je zbarven do hnědé barvy, přičemž mohou objevit tmavě hnědé skvrny. Ventrální povrch je bílý přičemž mohou mít lehce náhodnými skvrnami. Bílé skvrny jsou také někdy prezentovány vedle každého oka nebo v zadních stranách těla (Smith, 2011).

Velikost je rozdílná podle místa výskytu. Mladí jedinci dosahují délky přibližně 10 cm. Největší byly nalezeny v zálivu Maine, kde dosahuje více než 100 cm. Zde se také doflívají v věku až 16 let. V jiných oblastech, kde dosahují délky kolem 88 cm se doflívají 10 let sameci, 11 let samičky (Sulkowski, 2005).

*Amblyraja radiata* se vyskytuje jak ve východním, tak i západním Atlantském oceánu. Ve východním Atlantiku se vyskytuje na Svalbardu, v Grónsku, Islandu, Laman-ském průlivu v etn severní části Severního moře a západní části Baltského moře. V západním Atlantiku od Grónska ke Kanadě, Jižní Karolíně a USA. (Smith, 2011).



Obr. 4 Výskyt rejnoka *Amblyraja radiata* ve světě (převzato ze iucnredlist: URL 4)

Zdrflují se v mělkých pobřežních vodách při teplotě 1,4-14 °C a hloubkách 18-1400 m. Nejhojněji se vyskytují v hloubkách pod 110 m s teplotami 2-10 °C (Chevolot, 2007).

Rozmanitost potravy se liší v závislosti na stáří a velikosti. U jednotlivců kolem 40 cm se potrava skládá převážně z mnohočetných, jedinci, kteří přesahují 70 cm se flíví hlavně rybami, a to treskami nebo sledi. Další potravu tvoří korýši, krevety, sasanky (Ebert, 2007).

Jejich schopnost reprodukce trvá téměř celý rok (na rozdíl od jiných chrupavíků). Jediná studie byla provedena v zálivu Maine. Na vrcholu rozmnořování jsou buď v květnu nebo v číjnu. Velikost vaječných pouzder závisí na velikosti rejnoka. K líhnutí dochází, když embryo dosahuje přibližně 10 cm. Po et vyvinutých vajíček se pohybuje v rozmezí od 2-88. Jakmile jsou vajíčka vyzrálá, začnou se uvolňovat z vaječníku. Dostanou se do horní části vejcovodu a uzavou se se floutkem a bílkem do pouzdra. Pouzdra jsou světle hnědá a mají charakteristické rohy. Typicky se nachází 1 oplodněné vajíčko v 1 pouzdře. Samice často ukrývá svá vajíčka do písčných nebo bahnitých míst. Když se mláďata líhnou z pouzder, jsou plně vyvinuta a podobná vzhledem dospělým jedincům (Sulkowski, 2005). Dospělými se stávají až po 5-6 letech (Chevolot, 2007). Vaječná pouzdra jsou někdy potravou dravých plíň nebo fralok (Sulikowski, 2005).

### 3. Parazitismus

Parazitismus je jednou z nejvíce rozšířených životních strategií a v evoluci hraje velmi důležitou roli. Paraziti jsou pětadvacet z celkového počtu deseti nejvýznamnějších infekčních onemocnění. Parazit je organismus, který získává živiny z jednoho či více hostitelů, kterým obvykle neškodí, ale zabít je nemusí. Parazitickému způsobu života se přizpůsobily viry, bakterie, jednobuněná eukaryota a mnohobuněné organismy. Ovšem parazitologie se zabývá zejména parazity eukaryotického typu: prvky, červy a členovci. U životního cyklu rozdělujeme parazity na jednohostitelské a vícehostitelské. U mezihostitelů křídlnému množení nedochází nebo je nepohlavní a u definitivní hostitele je množení pohlavní. Podle výskytu parazita v hostiteli je dělíme dle na endoparazity (parazitující uvnitř těla hostitele) nebo ektoparazity (ležící na povrchu těla hostitele) (Volf, Horák a kol. 2007).

### 4. Krevní paraziti

Trypanosomatida je řád, do kterého patří paraziti bičíkovci s jedním bičíkem, patřící do třídy Kinetoplastea a kmene Euglenozoa. Pod tento řád spadají dva důležité rody *Leishmania* a *Trypanosoma*. Jedná se o parazity v krevním řečišti, kteří mají některé společné znaky (aerobní prostředí, nadbytek živin a kontakt s imunitními buňkami hostitele) (Ryávková et al., 1988).

### 5. Trematoda

Kromě jednobuněčných parazitů probíhají v krvi obratlovců i části vývojových cyklů některých helmintů. Jsou to motolice čeledi Sanguinicolidae a Schistosomatidae (Ryávková, 1988).

#### 5.1. Sanguinicolidae

*Sanguinicola* je motolice, který napadá krevní oběh ryb (jejich tepny, cévy, flábrý ), posléze i orgány. Je známo několik druhů *S. davis*, *S. klamathensis*, *S. idahoensis*. Dospělý jedinec *S. davis* je 8,5 mm dlouhý a 0,21 mm široký. *S. klamathensis* je dlouhý asi 2,6 mm a široký 0,91 mm. Tělo je v etenovitěho tvaru, mírně zploštělé. Podél každé strany se nacházejí ostny (Wales, 1958).

V životním cyklu larvy po penetraci migrují do krevního oběhového systému ryb a vyžívají zde v dospělém, kteří poté uvolní svá vajíčka do krve 30 dní po projevení (Kirk et al., 1993). V krevních oběhu vajíčka způsobují ucpání cév, tím zhoršují proudění krve. Pokud jsou vajíčka ve velkém množství, mohou se tvořit krevní sraženiny, způsobit trombózu a náhlou smrt. Vajíčka se dále usazují v cévách ledvin, kde mohou narušovat jejich funkci (Davies et al., 1953). Miracidium se líhne ve vodě a proniká do mořské pomoci penetrací fláz. Během proudu a krátce po něm se přemění ve sporocystu. Cercárie se vyvíjejí ze dvou generací sporocyst a během 1 dne přímě infikují hostitele (Kirk et al., 1993).

Jednotlivá vláknitá vlákna ryb jsou poškozena, bledá nebo se vyskytují světlé skvrny na mnoha místech a ledviny bývají oteklé (Davis et al., 1953).

## 5.2. *Schistosomatidae*

Schistosomóza je tropické onemocnění způsobeno motolicemi rodu *Schistosoma*. Plíši jsou mezihostiteli. Vajíčka, která jsou ve tkáních mohou vést k závažným a obstrukčním chorobám močového ústrojí (Gryssels et al., 2006).

Dospělé schistosomy jsou bílé nebo nažltlé červi o velikosti 7-20 mm s válcovitým tělem (Gryssels et al., 2006).

Samice produkují stovky až tisíce vajíček denně. V každém vajíčku je larva, která vylučuje proteolytické enzymy, které pomáhají vajíčku přenést do močového měchýře. Larva si vyhledává plíši, penetrují do těla a dochází k asexuálnímu množení. Po dvou generacích sporocyst se vyvinou konečná stádia cercárie, která opouští mezihostitele. Cercárie začínají opouštět plíši po 4-6 týdnech. Infekční cercárie se ve vodě zdržuje maximálně 72 hodin a hledá definitivního hostitele. Když naleznou hostitele, cercárie migrují v krvi přes plíce a játra a přemění se v mladé červy. Červi se dostávají z mezenteria do stolice anebo z pletence močového měchýře do močové. (Gryssels et al., 2006).

Životnost dospělé schistosomy je 3-5 let, někdy se může dožít až 30 let (Gryssels et al., 2006).

Vyskytují se v Africe, na Arabském poloostrově a v Jižní Americe. *Schistosoma japonicum* je rozšířena v jihovýchodní a východní Asii. Toky (mírně tekoucí), rybníky a jezera jsou přirozeným zdrojem infekce (Gryssels et al., 2006).



## 6. Nematoda

V krvi obratlovců probíhají i části vývojových cyklů helmintů Filariidae (Ryavý, 1988).

### 6.1. Filariidae

Filárie jsou malé až středně velké červi, kteří se vyskytují v podkoží různých savců (Volf, Horák, 2007). Jejich tvar těla je dlouhý a tenký, s rudimentární ústní kapsulou (Ryavý, 1988). Lákají mezihostitelskými dvoudřevými hmyzy, kterými se nakazí vajíčky nebo larvami parazita. Jsou schopny vyvolat kožní léze (Volf, Horák, 2007). Mezi hostitele se řadí savci, ptáci, plazi a obojživelníci (Ryavý, 1988).

*Parafilaria bovicola* je parazit, který osidluje podkoží různých savců v Evropě a v Africe. Po expozici slunečními paprsky se kožní léze v místě lokalizace dospělci otvírají a krvácejí. S krví jsou vyplavovány vajíčka, kterými se nakazí mouchy rodu *Musca* během sání (Volf, Horák, 2007). *Loa Loa* neboli vlasovec o něm je tenká vláskovitá hlístice. Dosahuje délky 3-5 cm. Patří k parazitům, kteří napadají člověka, u nichž cizopasí v podkožním pojivku, v nichž některých orgánech anebo často pod oční spojivkou. Ovčáci rodu *Chrysops* jsou mezihostiteli, ve kterých dochází k vývoji infekční larevy. Dalším příkladem je vlasovec mízní *Wuchereria bancrofti*. Hlístice dosahuje délky 4-10 cm (samice v těle nejlépe). V dospělém stádiu jsou stoženy v klučičce a cizopasí v mízním systému člověka (mízní uzliny, mízní ganglia). Onemocnění se projevuje chylurií nebo hematochylurií, což je nález kapek mízy nebo krve v moči. Mezihostiteli jsou komáři z rodu *Aedes*, *Anopheles*, *Culex* a *Mansonia* (Ryavý, 1988).

## 7. Kinetoplastida

### 7.1. Leishmania

*Leishmania* je rod, který vyvolává celou řadu parazitárních onemocnění. V těle biotických jsou extracelulární paraziti, tyto však tvoří výjimku a jsou intracelulární paraziti. Paraziti způsobují nemoc zvanou leishmanióza a jsou přenašeni krevsajícím hmyzem. (Milon, 2009).

Leishmanie jsou paraziti neutrofilů, dendritických buněk a makrofágů. Jsou schopny infikovat i fibroblasty, ve kterých se ale dále uží nemnohí (Murray, 2005). Leishmanióza je onemocnění vyvolané leishmaniemi. Toto onemocnění je známé téměř u všech savců. (Volf,

Horák et al., 2007). U lidí leishmánie způsobují onemocnění koflní (*Leishmania tropica*, *L. mexicana*), nebo postupuje do sliznic a mukokutánní (*L. brasiliensis*), ať po orgánové a viscerální (*L. donovani*), kde napadají mízní uzliny, játra, slezinu a kostní dřeň (Ryavý et al., 1988). Lokalizace parazita je dána jeho vlastnostmi a imunitním systémem a genetickou výbavou hostitele. (Volf, Horák et al., 2007).

Mezi koflní formy onemocnění se řadí šsuchý v edě (*L. tropica*), švlhký v edě (*L. major*) a *L. mexicana*. K mukokutánní patří onemocnění způsobené *L. brasiliensis*, které začíná jako koflní v ed, pokračuje do sliznic nosohltanových a ústních. Řadí se k nejtypičtějším formám mukokutánnímu onemocnění. Převodcem nejznámějších nákaz vnitřních orgánů je onemocnění zvané škála-azaró (Kernova nemoc) způsobené *L. donovani* (Volf, Horák et al., 2007).

Životní cyklus leishmanií má dvě stádia v životním cyklu. První stadium je promastigotní, které je charakteristické velmi krátkým biotickým a je infekční pro člověka. K jeho vývoji dochází v pěně a eci. Druhé stadium je amastigotní, které je definováno z hlediska patogenity. V tomto případě je bezbiotické a intracelulární. Vlastní pěnosa je uskutečňována díky krevsajícím hmyzům a *Phlebotomus* a *Lutzomyia* (Gossage, 2003).

Leishmanie se vyskytují asi v 88 zemích. Řadí se touto smrtelnou nemocí nakazí někdo kolem 2 milionů lidí. 90 % koflní leishmaniózy se vyskytuje v Afghánistánu, Pákistánu, Sýrii, Saúdské Arábii, Alžírsku, Íránu, Brazílii a Peru. 90 % viscerální leishmaniózy se vyskytuje v Indii, Bangladéši, Nepálu, Sudanu a Brazílii (Murray, 2005).

## 7.2. *Trypanosoma*

Druhy rodu *Trypanosoma* parazituje u všech obratlovců (Ryavý et al., 1988). Životní cyklus je obvykle mezi krevsajícím hmyzem (Diptera a Heteroptera) a obratlovcem. Hlavní část vývoje parazita probíhá v pěně a eci (Volf, Horák et al., 2007). Rozmnožují se binárním dělením (Ryavý et al., 1988), dochází zde také k diferenciaci parazita (Volf, Horák et al., 2007). Trypanosomy jsou rozděleny do dvou skupin a Stercoraria a Salivaria (Ryavý et al., 1988).

### **Stercoraria**

Vývojové stadium u pěně a eci je ukončeno v zadní části trávicího traktu. K pěnose dochází výkaly. Jejich kinetoplast je relativně veliký (Ryavý et al., 1988). Nejvýznamnější trypanosoma je *T. cruzi*, která mimo člověka napadá také stovky druhů domácích i divokých savců. Její výskyt je zejména v subtropickém a tropickém pásmu Jižní a Střední Ameriky (Volf,

Horák et al., 2007). U lidí *T. cruzi* způsobuje onemocnění, které se nazývá Chagasova choroba. Nejzávažnější formou tohoto onemocnění je srdeční selhání (v případě, že se parazit vyvíjí v srdeční svalovině) anebo ztráta nervové kontroly zařívací trubice (v případě, že parazit napadne nervový systém). Přenašečem je ploštica čeledi Reduviidae (Ryavý et al., 1988). Parazit se v jejich střevě množí do epimastigot, dále jsou přeměněny v rektu na infekční trypanomastigoty. Trypanomastigoti, kteří jsou v krevním řečišti se dále nedělí, ale zahajují nákazu ostatních buněk (Volf, Horák et al., 2007).

### **Salivaria**

Rozdíl oproti Stercoraria je vývoj v přenašeči, který je ukončen v přední části trávicího traktu. Přenos je v těle uskutečňován bodáním a sáním krve. Kinetoplast je poměrně malý. Nebezpečnými druhy pro člověka jsou dva druhy trypanosomů *T. gambiense* a *T. rhodesiense*. Patří mezi přenosce tzv. africké spavé nemoci. Toto onemocnění se projevuje příjmy, anémií, horekami, úpadkem sil a jinými příznaky. Nejdužně se trypanosomy zdržují v lymfatickém systému, později vniknou do krve a tkání. Ve druhém měsíci onemocnění se objevují psychické poruchy a nervové příznaky. Příběh nákazy *T. rhodesiense* je rychlý (2-4 měsíce), v neléčitelných případech končí smrtí. Nákaza *T. gambiense* trvá i několik let. Zvířata jsou napadány druhem *T. brucei*. Přenašečem jsou africké bodalky rodu *Glossina*. K vývoji trypanosomů přenašeč dochází ve střední části střeva, které pronikají ze slinných fláz při sání (Ryavý et al., 1988).

### **Rybí trypanosomy**

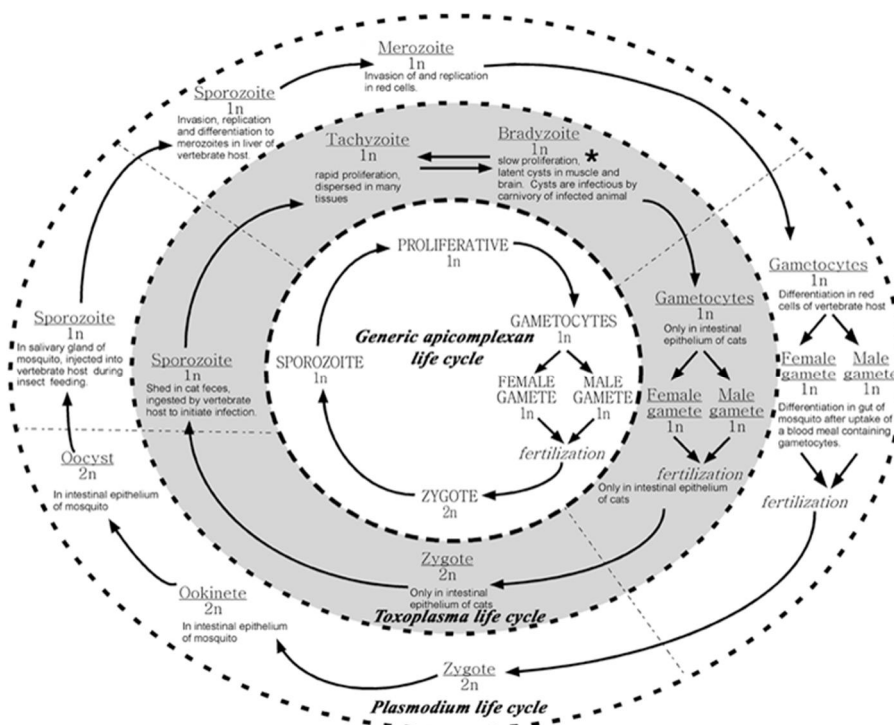
Rybí trypanosomy jsou rozšířeny ve sladkovodních rybách a přenašeny pijavkami (vektor). Trypanosomy se vyskytují u různých druhů ryb a v různých lokalitách. Výskyt trypanosomů u ryb je běžný a nepatogenní (Overath, 1999).

## **8. Apicomplexa**

Kmen Apicomplexa, (známý také pod názvem Sporozoa) tvoří velkou a různorodou skupinu jednobuněčných prvoků (Morrison, 2009). Většinou výtrusovi jsou adaptováni na život uvnitř buněk hostitelů, na povrch málokdy. Název kmene se odvíjí od apikálního komplexu, což je soubor organel-polární kruh, mikronemy, roptrie, subpelikulární fibrily (tubuly) a konoid (Ryavý et al., 1988), která vnikají do buněk hostitele částečně, či úplně (sporozoiti, merozoiti). K opakované tvorbě apikálního komplexu dochází při růstu a rozmnožování parazita (Volf,

Horák et al., 2007). Mnoho druhů je patogenních jak pro lovců, tak i pro domácí zvířata (Morrison, 2009).

Apikální komplex je tvořen skeletárními útvary-konoidem a polárním prstencem a dvěma typy sekrečních fláz-kyjovitými rhoptriemi a vláskovitými mikronémy. V buňce také můžeme vidět volně rozptýlené kulovité denzní granula. Kromě bílků buněk organel buňka ještě obsahuje apikoplast, jeho přítomnost je pro život organismu nezbytná. Zoiti apikomplex se pohybují pomocí klouzavého pohybu prostřednictvím aktin-myozinového komplexu, který je navázaný na substrát. Klouzající zoiti jsou schopni aktivního vyhledávání cílové buňky hostitele, což vede k úspěšnému zavrtání se zoitu do hostitelské buňky (u většiny gregagin) nebo k úplnému uzavření (Volf, Horák et al., 2007).



Obr. 5 (životní cyklus kmene Apicomplexa a jeho rod Plasmodium a Toxoplasma (Morrisette and Sibley, 2002).

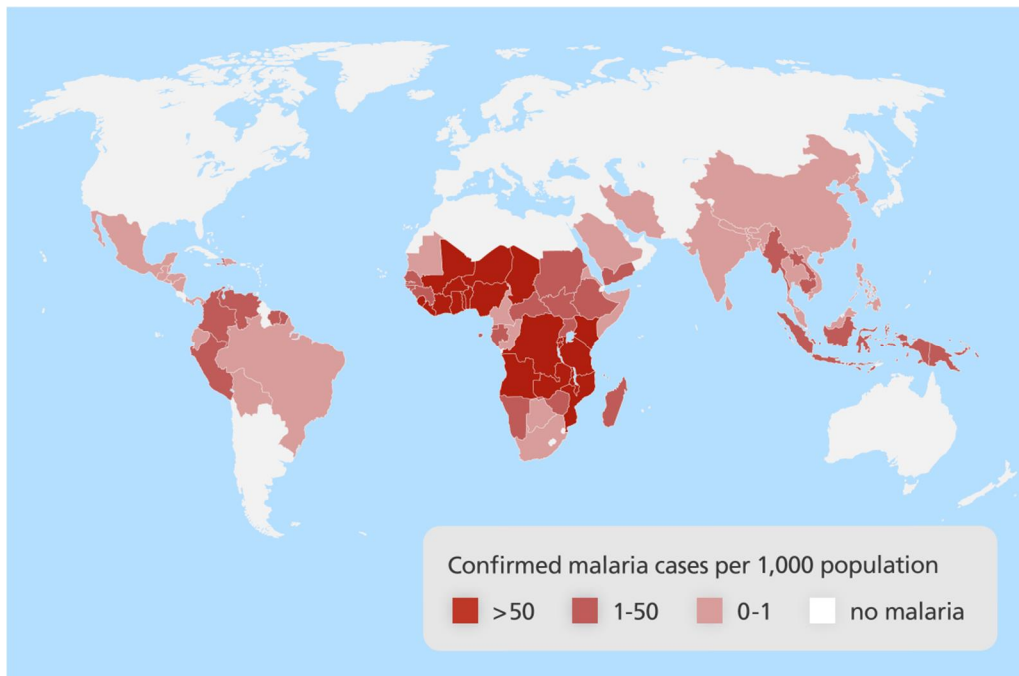
Z hlediska životního cyklu dle fáze rozmnožování do 3 fází: merogonie, gamogonie, sporogonie. Typickým příkladem je sporozoit, který vnikne do hostitelské buňky, roste a stane se merontem, dále dochází k dělení jádra. Během merogonie dochází k nepohlavnímu rozmnožování a mnohojaderný meront se rozdělí na jednojaderné merozoity, které vniknou do dalších hostitelských buněk. Během gamogonie se vzniklá vnitrobuněčná stádía nejprve mění v nezralá sexuální stádía (samčí a samičí gametocyty) a následně ve zralá sexuální stádía, samičí mikrogamety a samičí makrogamety. Mikrogamety v též mají 1-3 bílků. Zygota se obaluje silným obalem a tím se promění v oocystu. Uvnitř oocysty se někdy může tvořit další obalový sporocysta. Také tam dochází k meióze a buněčnému dělení. Produktem dělení jsou

sporozoiti (Volf, Horák et al., 2007). Kmen Apikomplexa je tvořen ty mi velkými skupinami organismů :gregariny, hemosporídiemi, kryptosporídiemi a kokcídiemi (Morrison, 2009).

### 8.1. Malarie

Malárie je jedním z nejzávažnějších parazitárních onemocnění ve světě. (Cowman, 2006). Převodcem malárie jsou prvoci rodu *Plasmodium* (Cowman, 2006).

Mezihostitelem plasmodií jsou plazi, ptáci nebo savci, definitivním hostitelem je potom komár *Anopheles*. U lidí nejzávažnější formu malárie způsobuje *Plasmodium falciparum*. Malárií se ročně nakazí 300 milionů lidí a 1-2 miliony lidí mu podlehnou. Výskyt tohoto onemocnění je zejména v tropickém pásmu (Asie, Afrika).



Obr. 6 Mapa zobrazující rozšíření malárie po světě (převzato z WHO World Malaria Report, Abarca: URL 5).

Přenašečem je komár *Anopheles* (je známo asi 60 druhů) a přenáší jen samice (Cowman, 2006). Komáři jsou nejvíce aktivní po setmění, během noci anebo za svítání (Mølle, 2000).

Onemocnění komára je vyvolané plasmodiem, který se množí a přefílává ve slinných žlázách komára. Parazit komára se musí nejprve rozmnožit, což trvá kolem 1 týdne. Po sání komárem se *Plasmodium* dostává do krve (sporozoity se dostávají do těla), později do jater (Cowman, 2006). Zde začíná exoerytrocytární merogonie (Volf, Horák et al., 2007), kde napadají buňky a dále se množí (Cowman, 2006). Sporozoit se promění v meront. Merozoiti zůstávají v jaterních buňkách, kde se množí a pak napadají červené krvinky (Volf, Horák et al., 2007), nebo hned po pomnožení opustí játra a napadají červené krvinky (Cowman, 2006). Po

proniknutí do erytrocyt se merozoiti m ní na meronty. Meront se dále vyvíjí a roste, dochází k d lení jeho jádra. Z merontu se stávají merozoiti (Volf, Horák et al.,2007), ímfl dochází ke zv t-ení krvinek a k jejich prasknutí. Za p íznaky malárie jsou zodpov dné toxiny, které jsou uvol ovány do krve b hem prasknutí krvinek (Cowman, 2006). Uvoln ním merozoit je spu-t n malarický záchvat Po ur ité dob od za átku infekce n kdy nedochází k rozmnožení meront , ale k prom n meront na gametocyty (Volf, Horák et al.,2007). Sáním krve od nakafeného dochází dále k nakafení dal-ích komár malárií (Cowman, 2006).

Onemocn ní se projevuje mezi 10-28 dny od nákazy. Mezi p íznaky malárie pat í hore ka, zimnice, k e e, pocení, únava, bolest hlavy a bolesti kloub , zvracení, nevolnost. Typické je, fle se každých 40-60 hodin parazit uvol uje do krve, což vyvolává malarický záchvat (prudké zhor-ení stavu, silná anemie anebo rozpad ervených krvinek). Stav se v t-inou po n kolika hodinách zlep-í, ale poté se po pár dnech zase opakuje (Cowman, 2006).

Trombocytopenie (snížené množství trombocyt v krvi) je nej ast j-í laboratorní abnormalita (60 %), následuje hyperbilirubinémie (zvý-ení bilirubinu) 40 % a anemie (snížení koncentrace hemoglobinu v krvi) 30 % (Trampus, 2003).

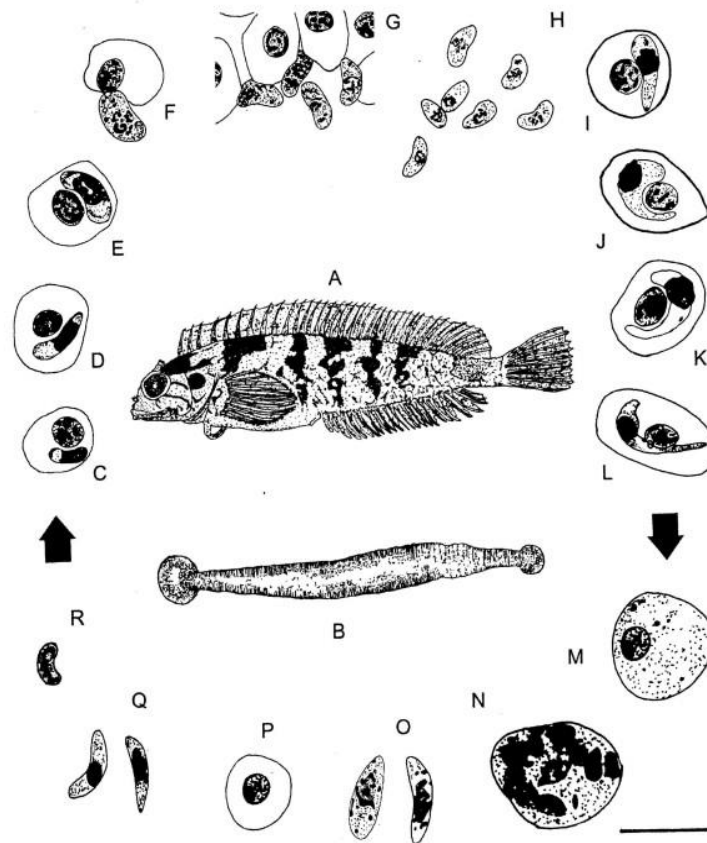
Proti malárii se lze chránit buď chemoprophylaxí (užívání antimalarik) anebo profylaxí (ochrana p ed sáním). Léky se používají p ed vstupem do malarické oblasti, b hem pobytu, a i po vrácení. U t chto lék je velmi d ležit dodržet p esnou hodinu podání. Užívá se artemisin, nebo chlorochin/promachin nebo samostatný chlorochin.

## 8.2. *Haemogregarina*

Rod *Haemogregarina* byl popsán v roce 1885, kdy byl nalezen druh *Haemogregarina stepanowi* parazitující v krvi vodní řelvy *Emys orbicularis*. Od roku 1885 bylo popsáno více než 300 druh ů rodu *Haemogregarina* a téměř 100 druh ů ze t ech dal-ích rod ů haemogregarin. (Desser et al., 1993).

*H. curvata* byla pozorována u *Clinus cottoides* (viz. obr. . 7) a *Parrablenius cornutus*, řlijící v tropických vodách. Vyzna uje se zejména tím, fle má výrazn ů zak ivené gamonty, poznamenal Hayes et al., (2006).

řivotní cykly *Haemogregarin* ō parazit ů ryb je heteroxenní (=vyřladující více než jednoho hostitele pro dokon ení řivotního cyklu) i kdyřl v n kterých p ípadech dochází k p ínému p enosu (Khan, 1972).



Obr. 7 životní cyklus *Haemogregarina curvata*-rybí hostitel (A-*Clinus cottoides*), pijavčí hostitel (B - dospělá *Zeylanicobdella arugamensis*); C - L: Jednotlivá stadia v periferní krvi ryby. M-R: Jednotlivá stadia u pijavek; C - L: malý intraerytrocytární trofozoit; D - L: velký trofozoit; E - L: Intraerytrocytární meronty; F - L: Extracelulární meronty; G-H: Extracelulární merozoity; I - L: Stadia intraerytrocytárních pregamont; J - L: Nezralé gamonty; K - L: meronty mezihostitele; L - L: Starší intraerytrocytární gamonty; M - L: Nezralá oocysta; N - L: rozvíjející se oocysta; O - L: Volné sporozoity; P - L: Meronty; Q - L: První generace merozoit ; R - L: druhá generace merozoit (Hayes et al., 2011)

V těchto cyklech je infekce v rybách pravděpodobně zahájena buď sporozoity, (případně merozoity uvolněnými ze sporozoit), které jsou inokulovány přímo do krevního řečiště od kousnutím infikovaným bezobratlým hostitelem nebo pozdějším bezobratlého infikovaného hostitele s potravou. Není známo jak se sporozoiti nebo merozoiti, které nejsou přímo injektovány, dostávají do krevního oběhu (Khan, 1972).

V rybách se sporozoiti a merozoiti následně uvnitř cytoplazmy dělají merogonií (schizogonií). Meronty se vyskytují v leukocytech a erytrocytech v periferní krvi a v dalších buňkách hostitelů v nichž orgánech jako jsou například slezina a ledviny, případně v endotelových buňkách (Khan, 1972).

U některých druhů makromeronty mohou produkovat malé množství velkých merozoitů, zatímco mikromeronty vytvářejí velké množství malých merozoitů. Některé merozoity nakonec napadnou erytroblasty nebo erytrocyty a stanou se gamonty (Khan, 1972).

Haemogregariny mohou být rozděleny do dvou typů podle toho, zda podstoupí dělení v červených krvinkách bezprostředně po vytvořením gamont. Ty, které takovému dělení podstoupí, jsou označovány jako "schizo-haemogregariny" (Henry, 1912). Gamonty vzniklé z takového dělení jsou obvykle spárované nebo se vyskytují v násobcích dvou uvnitř hostitelských buněk a jsou často nediferencované. Gamonty, které se samostatně vyskytují v buňkách červených krvinek hostitele mohou být relativně nediferencované (monomorfní) nebo mohou vykazovat výrazný pohlavní dimorfismus. Některé monomorfní a dimorfní gamonty mají skvrnitý povrch a byly popsány jako "rovignensis group" (Laird, 1952).

Gamonty jsou infekční pro bezobratlé (definitivní) hostitele. Vstupují do bezobratlých (například pijavic), když se fliví rybí krví. Uvnitř lumen střeva bezobratlých, na stěvním povrchu, nebo ve stěvním epitelu tohoto hostitele, mohou gamonty projevovat pohlavní dimorfismus, který nemusel být zaznamenán v obratlovci nebo tato diferenciace může být nánadit j-í (Khan, 1972).

Při samotném sexuálním množení se v samotném mikrogamontu tvoří obvykle 4 bisékaté mikrogamety, zatímco samotným makrogamontem se vyvine jedinou makrogametu. Poté následuje oplodnění, což vede k tvorbě zygoty, ze které se stává oocysta. Oocysta je obklopena pruhovou membránou a produkuje 8 nebo více sporozoitů, které se mohou dále množit merogonií. Sporozoity nebo merozoity, které jsou vzniklé ze sporozoitů jsou považovány za infekční pro ryby (Davies, 1995). Siddall and Dessler (1993) rozeznávali 2 vývoje sporogonií produkující 16-32 malých sporozoitů v *Haemogregina myoxocephali* a merogonie produkující 4 větší merozoity ve slepém střevě *Myoxocephalus scorpius*.

Mezi nejznámější druhy haemogregin patří například *Haemogregarina bigemina*, která je páná-ena stejnonofci a infikuje slizouny. Vývoj parazita je podobný jako u ostatních druhů. Průběh trvá 28 dní a obsahuje fáze nezralých a zralých oocyst, sporozoitů a merozoitů. (Laveran and Mesnil, 1901).

Dalším známým druhem je *h. koppiensis*, který infikoval v Jižní Africe v roce 2003 *Amblyrhynchotes honckenii*. Vektorem je v tomto případě stejnonofec. Z krevních nátěrů byly odhaleny neobvyklé etapy merigonií, které zahrnovali malé, zaoblené pravdy podobné intraerytrocytární merozoiti v kruzích obklopující jádro hostitele. Buňky hostitelů byly v tomto srovnání s normálními erytrocyty (Smit and Davies, 2005). K dalším haemogregarinám na Floridě patří *H. sauritus* a *H. guttata* (Teleford et al., 2002; Teleford et al., 2004). *H. crocodilorum* byla popsána z krve amerických aligátorů (*Aligator mississippiensis*). Jejich gametocyty se vyskytují v erytrocytech a erytrocytární schyzozonty obsahují kolem 8 merozoitů. Gametogony a sporogony byly objeveny ve střevu pijavky (*Placobdella*



*multineata*) (Khan, 1980). Curtis et al., tvrdil, že tento vektor také p ená-í na 2 druhy *H. triatoma* a *H. balistapi* je-ť rek z Kostariky (2012). Dv řelvy *Emys orbicularis* a *Mauremys caspica*, zkoumány v Íránu, byly nakafeny druhem *H. stepanowi*. Prevalence u t chto řelv tímto druhem v této lokalit byla 75 % ař 100 %. P edpokládá se, že merozoity jsou p ená-eny na řelvy pijavkami (Javanbakht, Shafiri, 2014). První identifikace *H. sachai* byla na farmách ve Skotsku. Ryby m ly zvý-ený počet erytroblast , neutrofil a monocyt a snířený počet trombocyt a lymfocyt (Kirmse, 1978). Nemén známým druhem je *H. simondi*, kterou m řeme nalézt jak v neutrofilech, tak i lymfocytech ryby (*Solena solena*), která je známá také pod názvem mo ský jazyk (Laveran and Mesnil, 1901).

Haemogregariny jsou paraziti ervovitého tvaru uvnit řirkulujících erytrocyt nebo leukocyt . V řivotním cyklu mají dva hostitele. Zatímco merogonie a gamogonie probřhají v mezihostitelích obratlovc , sexuální stádía, sporogonie a dále merogonie probřhají v pijavicích nebo jiných bezobratlých, kte í jsou tedy definitivními hostiteli (Davies, 1995).

Haemogregariny řasto infikují rejnok y. Prevalence *Haemogregarina delagei* u rejnok se ř zn lí-í podle sezónny dosahuje 77 % ař 91 %. Prevalence infekce *H. delagei* u rejnok v Passamaquoddy Bay byla vy-ří neř u rejnok v severním Atlantiku, což auto i vysv řlují ř znými hostitelskými druhy. (Siddall, Desser, 2001).

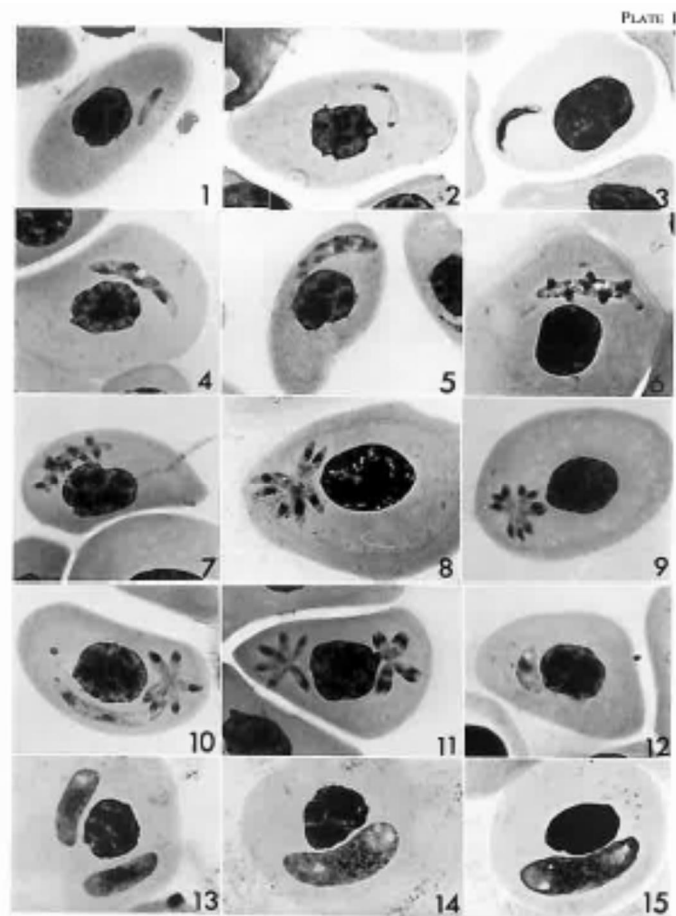
Prevalence ze 75 % tohoto parazita byla zji-ť na v Newfoundlandských vodách p evářn u rejnok řv zdatých. Geografické rozříly ve výskytu *H. delagei* popisují i jiní auto i (Khan et al. 1980).

Merogonie byla pozorována v krvi rejnok výhradn v listopadu (Khan, 1972). B řem pozorování bylo zji-ť no, že k p enosu *H. delagei* dochází na konci rozmnořování rejnok *Amblyraja radiata* a to na podzim. Takře prevalence gamont je maximální v zimních m řících (Khan, 1972).

Haemogregariny ř zných druh ů jsou p ená-eny infikovanými stejnonořci nebo pijavkami v závislosti na geografické poloze. Zatímco pijavky byly zaznamenány na severní řásti polokoule, na jihu jsou vektorem stejnonořci (Davies 1995). Ř zná vývojová stádía *H. delagei* se na-řa ve tkáních pijavic *Oxytonostoma typica* (Siddall and Desser, 1993), dále je také mořné je najít v jejich slinných řlázách (Khan et al. 1980).

Haemogregariny velmi řasto napadají ryby v mo řkém prost ředí, zahrnující p římok ř okraje, útesy a otev řený oceán v Evrop , Severní Americe, Austrálii a Novém Zélandu. Av-řak řasto se také objevují v rybách z poloslané vody nebo ve sladkovodních řekách a v jezerech (Davies, 1995). Mimo to, haemogregariny byly je-ť dále objeveny v krvi ryb z extrémních

vodních prostředí jako je Antarktida a Severní ledový oceán a v hlubinách v Severním Atlantiku (Khan et al., 1992; Davies and Merrett, 2000).



Obr. 8 Vývojová stádia *Haemogregarina delagei* (2000x): 1-2: Trofozoity nacházející se směrem k polárnímu konci hostitelské buňky; 3-5: Odliší se parazit s odlišným po tem chromatinu; 6-7: Špupeny objevující se na povrchu schizont; 8: Schizont se 7 merozoity; 9: Schizont s 10 merozoity; 10-11: Buňky dvojnásobně infikované schizonty; 12-13: Prekurzory gametocyt; 14-15: Gametocyt (Khan, 1972).

V hematologických postupech, speciálně u krevních nátěrů z ryb, byly objeveny všechny druhy apikomplex v buňkách červené řady. Zdálo se, že některé hemogregariny byly vyvinuty v leukocytech nebo buňkách červené řady. Ostatní hemogregariny a hematozoa napadaly orgány jako jsou játra, ledviny, slezina nebo v retikuloendoteliální systém (Davies and Johnston, 2000). V krevních nátěrech se hemogregariny objevovaly hlavně v zaoblených nebo ohraničených tvarech intracelulárních organismů a zejména v erythrocytech mohly být některé rozděleny binárním dělením (Davies, 1995).

Tito paraziti jsou sledováni pomocí krevních nátěrů. Krevní preparáty jsou barveny metodou Giemsa Romanovsky, May Grunwald Giemsa a Leischman. Nyní již digitální fotoaparáty připevněné k moderním mikroskopům mohou nahrát přesné obrazy malých

organism a detekce je mnohem jednodušší než dříve. Krevní nátěry jsou sledovány pod objektivem 100x (Davies, 1995).

## 9. Materiál a metody

### 9.1. Materiál

Vzorky rybí krve, které jsem vy-et ovala, byly získány z Centra polární ekologie Přírodovědecké fakulty Jihoeské Univerzity. Všechny vzorky byly odebrány na Svalbardu v roce 2015. Vzorky jsem dostala již vyizolované z rejnoka *Amblyraja radiata*. Byly zhotoveny 2 a více krevních roztoků od každé ryby a paryby. Postupně byly vzorky zpracované pomocí molekulárních metod.

Tab. 1 Seznam paryb a ryb, které byly vy-et ovány

<b>Ryby a paryby</b>	<b>Počet odebraných vzorků</b>
<i>Amblyraja radiata</i>	27
<i>Boreogadus saida</i>	3
<i>Gadus morhua</i>	19
<i>Pollachius virens</i>	3
<i>Gymnocanthus tricuspis</i>	27
<i>Myoxocephalus scorpius</i>	69
<i>Melanogrammus aeglefinus</i>	1
<i>Anarhichas minor</i>	1
<i>Hippoglossoides platessoides</i>	2
<i>Sebastes mentella</i>	1
<i>Lumpenus lampetaeformis</i>	2
<i>Triglops sp.</i>	1
<i>Mallotus villosus</i>	1

### 9.2. Metody

#### 9.2.1. Mikroskopická diagnostika

Všechny roztoky byly nafilovány 100 % methanolem a poté obarveny pomocí zedného roztoku Giemsa a Romanowski (Penta) v poměru 1:5 30 minut. Giemsovo barvivo je roztok, u kterého dochází ke zbarvení buněk do modra. Fixovaná sklípka byla po obarvení opláchnuta pod tekoucí vlafnou vodou po dobu 30 sekund. Následně se sklípka nechala zaschnout při

pokožové teploty. Obarvené vzorky byly prohlíženy mikroskopem Olympus CX21LED, imerzním objektivem při zvětšení 100x.

### 9.2.2. Molekulární diagnostika

DNA byla vyextrahována pomocí fenolu a chloroformu. Již takto vyizolovanou DNA jsem získala od kolegy specialisty. Vzorky byly zakonzervovány v TNES pufru (10 mM Tris, 125 mM NaCl, 10mM EDTA-2Na, 0,5 % SDS a sodium dodecyl sulfát, 4 M močoviny, Asahida et. al., 1996).

U mikroskopicky vyšetřených rejnoků (*Amblyraja radiata*), kteří byli pozitivní, byla provedena polymerázová řetězová reakce (PCR).

Reakční směs PCR bylo namícháno několik různých kombinovaných druhů. První byla pro 28 vzorků (27 + negativní kontrola H<sub>2</sub>O) a obsahovala 2,5 µl 10x Taq Buffer complete (15mM MgCl<sub>2</sub>, Top-Bio), již předem zedněho 2 µl dNTP (10mM dATP, 10 mM dCTP, 10 mM dGTP, 10 mM dTTP, Top-Bio); 120 µl PCR H<sub>2</sub>O + 20 µl roztoku dNTP, 1 µl 5' primeru Des233F a 1 µl 3' primeru Des2200R (60 µl PCR H<sub>2</sub>O + 20 µl roztoku), 1µl Taq-Purple DNA polymerázy (1 U/ µl, Top-Bio); 16,5 µl PCR H<sub>2</sub>O a 1 µl templátové DNA. Objem pro 1 vzorek činil 24 µl. Celkový objem pro tuto reakci byl 720 µl (28 vzorků + rezerva).

Další směsi byly připravovány pro 6 vzorků (Tab. 2) z nichž jeden sloužil i jako pozitivní kontrola a negativní kontrola byla opět H<sub>2</sub>O. Pro výběr vhodné kombinace reakční směsi byly vybrány nejvíce pozitivní vzorky rejnoka *A. radiata*. Reakce měly několik proměnných – pufr, polymerázy a kombinace primerů. Ve směsích došlo ke stídání primerů a polymeráz, k zjištění nejvhodnější kombinace.

Tab. 2 Výběr vhodné kombinace reakční směsi

Pořadí vzorku a kontroly	číslo vyšetřovaného vzorku
1	C315
2	C272
3	C232
4	C177
5	C183
6	C291
Negativní kontrola (KO-)	H <sub>2</sub> O
Pozitivní kontrola (KO+)	C183

### **1. směs**

První reakční směs obsahovala 2,5 µl Taq Buffer complete, 2 µl namíchaného dNTP, 1 µl z ed něho 5' primeru Erib1 a 3' primeru Erib10, 1 µl Taq-Purple DNA polymerázy, 16,5 µl H<sub>2</sub>O a 1 µl templátové DNA.

### **2. směs**

Druhá reakční směs obsahovala 2,5 µl Taq Buffer complete, 2 µl namíchaného dNTP, 1 µl z ed něho 5' primeru Des233F a 3' primeru Des2200R, 1 µl Taq-Purple DNA polymerázy, 16,5 µl H<sub>2</sub>O a 1 µl templátové DNA.

### **3. směs**

Třetí reakční směs obsahovala 2,5 µl Blue Taq Buffer (25 mM MgCl<sub>2</sub>, Top-Bio), 2 µl namíchaného dNTP, 1 µl z ed něho 5' primeru Erib1 a 3' primeru Erib10, 1 µl Blood Taq polymerázy (1 U/ µl, Top-Bio); 16,5 µl H<sub>2</sub>O a 1 µl templátové DNA.

### **4. směs**

čtvrtá reakční směs obsahovala 2,5 µl Blue Taq Buffer, 2 µl namíchaného dNTP, 1 µl z ed něho 5' primeru Des233F a 3' primeru Des2200R, 1 µl Blood Taq polymerázy, 16,5 µl H<sub>2</sub>O a 1 µl templátové DNA.

Celkový objem pro každou z těchto reakcí činil 192 µl.

Další příprava vzorků pro PCR byla s využitím Plain PP Master Mixu (MgCl<sub>2</sub> v koncentraci vhodné pro většinu PCR reakcí, Top-Bio). Opět byla tato směs připravována pro 6 stejných vzorků jako pro předchozí PCR (s negativní i pozitivní kontrolou). Obsahem této směsi bylo 12,5 µl Plain PP Master Mix, 1 µl 5' primeru EimF, 1 µl 3' primeru EimR, 9,5 µl PCR H<sub>2</sub>O a nakonec 1 µl templátové DNA. Celkový objem pro 8 vzorků byl 200 µl.

Tab. 3 Poufilité primery

Primer	Sm r	Sekvence	Zdroj/citace
Des233F	5'	GCTCATTAAHAACAGTTATAGTTTR	poskytnuty Martinem Kostkou
Dess2200R	3'	CACAGACCTGTTATTGCCT	Poskytnuty Martinem Kostkou
Erib1	5'	ACCTGGTTGATCCTGCCAG	Barta et al. (1997)
Erib10	3'	CTTCCGCAGGTTACCTACGG	Barta et al. (1997)
EimF	5'	GAA ACT GCG AAT GGC TCA TT	Kvi erová et al. (2008)
EimR	3'	CTT GCG CCT ACT AGG CAT TC	Kvi erová et al. (2008)
M13F	5'	GTAAAACGACGGCCAGT	Univerzální sekvena ní primer
M13R	3'	CAGGAAACAGCTATGAC	Univerzální sekvena ní primer

Tab. 4 Protokol amplifikace

5÷primer	3÷primer	Modifikace PCR	Amplifika ní program (v závorce opakující se cykly)	Po et cykl
Des233F	Des2200R		94 °C/10 min (94 °C/1 min, 54 °C/1 min, 72 °C/2 min) 72 °C/15 min, 4 °C/Ô	35
<b>Reakce pro sm si</b>				
Des233F	Des2200R	Postupná PCR ó 2	95 °C/3 min (95 °C/40 sek, 52 °C/40 sek, 72 °C/80 sek) 72 °C/10 min, 4 °C/Ô	30
Erib1	Erib10	Postupná PCR ó 1	95 °C/3 min (95 °C/50sek, 48 °C/50 sek, 72 °C/110 sek) 72 °C/10 min, 4 °C/Ô	30
<b>Dal-í reakce</b>				
EimF	EimR		94 °C/1 min (94 °C/15 sek, 55-68 °C/15 sek, 72 °C/1 min), 72 °C/15 min, 4 °C/Ô	25-35

V dal-ím kroku jsem si znovu p ipravila sm si 2. a 4. bez templátové DNA a p idala jsem je ke sm sím 1. a 3., které byly po amplifikaci (pro primery Erib1 a Erib10) a obsahovaly templátovou DNA. Tuto sm s jsem dala do cycleru (Bio RAD T 100 Therma) a poufilita stejný program jako pro primery 5' Des233F a 3' Des2200R. Ve-kerá p íprava byla provád ěna na ledu.

## **Elektroforéza**

V dalším kroku byla použita separační metoda agarózová elektroforéza (ELFO). Nejprve byl připraven 1 % agarózový gel a to smícháním 1g agaróza Serva a 50ml 1x TBE (Tris-borát-EDTA) pufru dále byla tato směs zahřívána v mikrovlné troubě, dokud se agaróza zcela nerozpustila (roztok musí být čirý). Po zchladnutí pod tekoucí vodou následovalo přidání barviva GoodView (Beijing SBS Genetech, Čína) v koncentraci 0,04 %.

pro vizualizaci DNA v gelu v objemu 4 µl. Agarózový gel byl připravován i v menším objemu (0,5 g a 0,25 g agaru). Namíchaný gel byl rozlit do vany, do níž se vložil hřeb. Díky hřebu zůstaly v gelu komůrky, do kterých se pipetovaly vzorky PCR. Po ztuhnutí gelu (asi po 20 minutách) byly nanесeny jednotlivé vzorky do jamek. Na první pozici byl vložen ladder 100bp DNA nebo 1k ladderu na posouzení délky PCR produktu. Při pipetování vzorku s Blood Tag polymerázou musel být vzorek smíchan s barvivou Purple Loading Dye 6x koncentrovaným (Dye 1- pink/red, Dye 2 blue, Neb), kvůli zvýšení hustoty a viditelnosti vzorku. Vzorky byly pipetovány v určitém množství. Poté mohla být elektroforéza spuštěna. Na začátku byl zdroj spuštěn na 110 V (5 minut), poté snižen na 90 V (30 minut). Výsledky elektroforézy byly kontrolovány prostřednictvím UV transiluminátoru a dokumentovány v zařízení Gel Logic 112 (Carestream Health, USA). Vzorky, které byly pozitivní, byly vyříznuty skalpelem a přeneseny do zkumavky.

## **Izolace produktu**

Z vyříznutého gelu následovala izolace PCR produktu pomocí kitu GeneAll Expin Combo. Po přidání 300 µl pufru GB do agarózového bloku byly jednotlivé vzorky zahřáty v termostatu (AccuBlock, Labnet) na 50 °C po dobu 10 minut, aby došlo k úplnému rozpuštění. Poté bylo přidáno 100 µl isopropanolu ke vzorku a zvortexováno. Vzorky byly přidány do kolonek a zcentrifugovány (centrifuge 5424) po dobu 1 minuty/12 000 otáček. Dále byl k vzorkům přidán Buffer NW v množství 700 µl a centrifugován po dobu 30 sekund. Kvůli velkému množství, bylo odstředováno 2x, aby došlo k úplnému odstranění bufferu. Kolonky byly následně přidány do 1,5 ml zkumavek. Na membránu kolonek bylo aplikováno 30 µl H<sub>2</sub>O a opět zcentrifugováno na 1 minutu.



## **Klonování**

Po izolaci následovalo klonování s kompetentními buňkami *Escherichia coli* (kmen TOP10), u kterých po styku s koncentrovaným roztokem chloridu vápenatého dojde k narušení buňky. *E. coli* byly napipetovány zastříhanou pipetou ( čím je prostor pro buňku ušší, tím více se ničí). Klonování probíhalo za pomoci TOPO TA Cloning kitu. Do zkumavky se 4 µl PCR produktu byl přidán 1 µl roztoku Salt a 1 µl TOPO vektoru, vše promícháme pipetou. Reakce je opět míchána na ledu. Poté jsme nechali 5 minut inkubovat při pokojové teplotě (22-23 °C). Ke kompetentním buňkám bylo přidáno 2 µl směsi, čímž se buňky stávají geneticky modifikovanými. Musí do sebe zakomponovat vektor, pokud k tomu nedojde, nepůjdou. Poté byly buňky inkubované na ledu po dobu 10 minut a přesunuty do předem připravené vodní lázně se 42 °C na 30 sekund. To buňkám způsobilo teplotní šok. Po zahájení za nou buňky opravovat díry v buněčné stěně, převedou buňky k životu a vrátí je do normálu. Po vodní lázni buňky ihned vrátíme na led. Po přidání 250 µl SOC (Super Optimal broth with Catabolite repression) media se daly zkumavky teplotně na 1 hodinu.

## **Kontrolní PCR**

Byl namíchan produkt PCR mastermix. Zkumavky byly předem popsány a následně do nich bylo napipetováno 1,25 µl 10x Taq Bufferu complete, 1 µl dNTP, 0,5 µl M13F 5' primeru, 0,5 µl M13R 3' primeru, 0,5 µl polymerázy a 7,25 µl H<sub>2</sub>O.

## **Izolace plasmidu**

Izolace plasmidu se prováděla pomocí kitu (GeneAll Hybrid Q Plasmid 200 p). Po odebrání 750 µl kultury, která byla zcentrifugována na 5 min na 10 000 otáček. Roztok byl vylit nejvíce jak bylo možné a na spodu zůstaly usazené buňky. Mikrozukavky byly znovu naplněny stejným množstvím a stejně se daly do stejného, pak bylo médium opět vylito. Poté bylo přidáno dobře promíchaného 150 µl Bufferu S1, 250 µl Bufferu S2 se kterým se musí pracovat rychle (je to zásada, která dokáže snadno poleptat), maximálně 5 minut (pracujeme maximálně s 5 vzorky, aby nebyla velká časová prodleva). Následně bylo přidáno 350 µl Bufferu G3, promícháno a stejné na 10 minut při stejných otáčkách. Poté byl zbytek přeelit do kolonek s filtrem (zbytek nesklepáváme), stejné na 30 sekund a zbytek byl vylit. Pak bylo přidáno 500 µl Buffru AW, který byl přidán na kolonky s filtrem a stejné na 30 sekund, zbytek byl vylit a bylo přidáno 700 µl Bufferu PW, opět stejné na 30 sekund (2x kvůli většímu množství), zbytek vylit a pak bylo opatrně napipetováno 50 µl H<sub>2</sub>O na membránu. Po posledním kroku následovala centrifugace po dobu 1 minuty. Výtěk byl v sedimentu zkumavky.

## **O kování na Petriho misky**

Pro každý vzorek byly připraveny 2 misky s LB agarem. Na 1. misku bylo naneseno 50  $\mu\text{l}$  vzorku, na 2. misku 250  $\mu\text{l}$  vzorku (kvůli velkému množství vzorku, které se nevsakovalo do agaru byl poměr upraven na 100  $\mu\text{l}$  a 200  $\mu\text{l}$ ). Vzorek byl opatrně rozetřen sterilní hokejkou, aby došlo k úplnému vsáknutí do agaru. Misky byly uloženy do termostatu přes noc, ve kterém byla teplota 37 °C.

Další den byly misky prohlédnuty a zkontrolovány kvůli nárůstu kolonií a následně zakroužkovány podle uvážení pro vhodný výběr. Do každé 1,5  $\mu\text{l}$  zkumavky bylo rozpipetováno 30  $\mu\text{l}$  H<sub>2</sub>O. Následovalo vypíchnutí zakroužkovaných kolonií pomocí pipety z plotny, které byly spolu se pipetkou přeneseny do zkumavky s H<sub>2</sub>O. Zkumavky se daly tepeť po dobu 10 minut při teplotě 37 °C.

Mezitím byl namíchán produkt PCR mastermix. Do každého stripu bylo rozděleno 11  $\mu\text{l}$  PCR produktu a 2  $\mu\text{l}$  buněčné suspenze z teploty (v tomto kroku byla použita ta pipeta, která zůstala ve zkumavce a byla vytepenána. Pro tyto vzorky byl na cycleru nastaven program SCREEN pro celkové množství 13  $\mu\text{l}$ . Přesná suspenze byla uložena do ledničky pro pozdější použití.

Po provedení PCR screeningu byl namnožen plasmid. Plasmid byl izolován prostřednictvím. 750  $\mu\text{l}$  bylo promícháno pipetou a převedeno do eppendorfky. Poté se dalo stát na 5 minut při 10 000 otáčkách. Roztok byl vylit. Zkumavky byly znovu naplněny 750  $\mu\text{l}$ , stejně způsoby a opět vylity. Následovala izolace.

## **Spektrofotometrie**

Posledním krokem bylo měření koncentrace DNA spektrofotometrem. V každé mikrozkušavce bylo 95  $\mu\text{l}$  H<sub>2</sub>O, 5  $\mu\text{l}$  vzorku (+ 1 blanková kontrola). Vzorek byl promíchán a měřen ve spektrofotometru na program Photometric o 260 nm.

Tab. 5 Vzorky měřené spektrofotometrem

Kód hostitele	íslo vzorku	ABS	Vzorky na osekvenování
C 315	1 I	368	A 9 A 10
	1 J	380	A 11 A 12
	1 K	398	A 13 A 14
	3 H	425	A 15 A 16
C 232	3 CH	381	A 17 A 18
	3 I	362	A 19 A 20

Vzorky s primery byly dále poslány na sekvenaci firm Seqme. Každá eppendorfka obsahovala množství 3,5  $\mu$ l H<sub>2</sub>O a 1,5  $\mu$ l vzorku.

#### **Zpracování sekvencí, fylogenetická analýza**

Po amplifikační reakci s nově navrženými primery (Des 223F + Des 2200R), zaklonování PCR produktů do kompetentních buněk, byly získány 2 sekvence. Obě sekvence pocházejí z jednoho jedince (C186), na kterém bylo mikroskopicky zjištěno 26 jedinců parazita. Jedná se o rejnoka *Amblyraja radiata* s kódem F644. Výsledné sekvence byly porovnány s databází GenBank pomocí BLAST (Basic Local Alignment Search Tool) se sekvencemi z databáze NCBI (National Center of Biotechnology Information).

## 10. Výsledky

Pozitivita krevních parazitů byla identifikována na krevních rozetech 30 vzorků z celkového počtu 157. V tabulce 6.1 je možné vyhledat pohled vyšetřovaných ryb/paryb a počet vyšetřovaných vzorků mikroskopem. Paraziti se vyskytovali zejména u rejnoka *Amblyraja radiata*. Pozitivita byla také nalezena u *Myoxocephalus scorpius*, ale v mnohem menší míře. Výhradně se jednalo o parazity vnitrobuněné, které se nacházejí uvnitř erytrocytárních buněk.

Z celkového počtu vyšetřených 21 rejnoků *Amblyraja radiata* jich bylo 19 pozitivních. Na každém z rozet se nacházelo od 1 až po 79 parazitů (průměr 24). Procentuální zastoupení vyskytujících se parazitů dosahuje na 90 %.

Dále byly pozitivní vzorky ryb *Myoxocephalus scorpius*, a to konkrétně u 11 ryb (průměr 3,6) z celkového počtu 68 krevních rozet. Procentuální zastoupení u vyskytujících se parazitů dosahuje na 16 %.

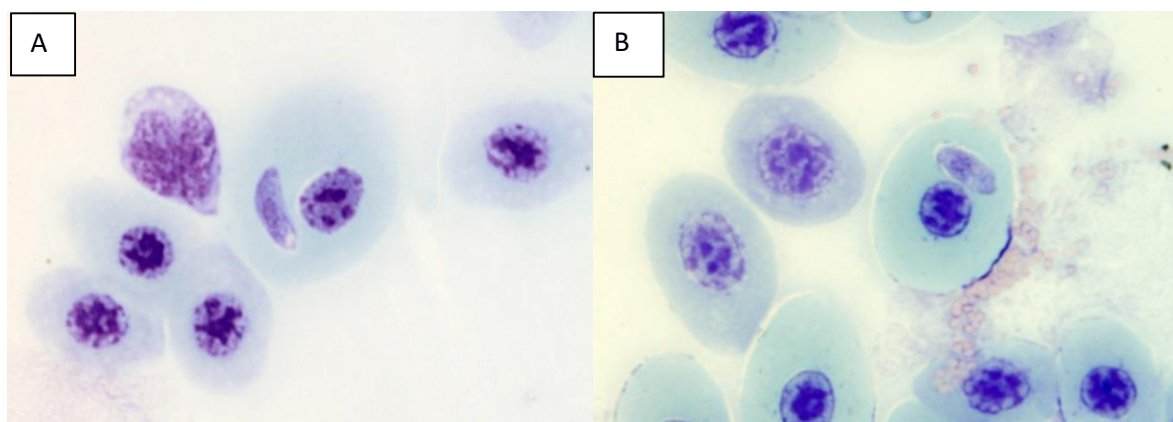
Vždy se počet parazitů vztahuje k jednomu jedinci obarvenému a následně prohlíženému na krevnímu rozetu.

U ostatních rozet nebyl žádný parazit prokázán.

Tab. 6 Intenzita infekce u vzorků

Kód hostitele	Název hostitele	Počet nalezených parazitů
F 456	<i>Amblyraja radiata</i>	12
F 524	<i>A. radiata</i>	15
F 525	<i>A. radiata</i>	33
F 526	<i>A. radiata</i>	1
F 537	<i>A. radiata</i>	37
F 538	<i>A. radiata</i>	2
F 559	<i>A. radiata</i>	17
F 596	<i>A. radiata</i>	23
F 607	<i>A. radiata</i>	32
F 608	<i>A. radiata</i>	23
F 609	<i>A. radiata</i>	39
F 637	<i>A. radiata</i>	35
F 642	<i>A. radiata</i>	50
F 643	<i>A. radiata</i>	79

F 644	<i>A. radiata</i>	26
F 647	<i>A. radiata</i>	14
F 649	<i>A. radiata</i>	4
F 652	<i>A. radiata</i>	1
F654	<i>A. radiata</i>	13
F 80	<i>Myoxocephalus scorpius</i>	13
F 82	<i>M. scorpius</i>	2
F 101	<i>M. scorpius</i>	3
F 117	<i>M. scorpius</i>	1
F 118	<i>M. scorpius</i>	2
F 183	<i>M. scorpius</i>	1
F 185	<i>M. scorpius</i>	1
F 374	<i>M. scorpius</i>	6
F 599	<i>M. scorpius</i>	1
F 602	<i>M. scorpius</i>	2
F 623	<i>M. scorpius</i>	7



Obr. 9 A a B mikroskopický nálezn gamont haemogregarin na krevním náturu *Amblyraja radiata*

V erythrocytárních buňkách infikovaných ryb/paryb se nacházely gamonty zaobleny do ervovitého tvaru. Někdy se tvary gamontů nepatrně lišily (některé byly na konci více zaoblené, jiné zase na konci tvořily výpustku, nebo byly gamonty více kulaté, jindy se téměř více zúžovaly uprostřed i na koncích). Většinou byly gamonty nalezeny blíže k jádru, v jiných případech byly zase vytlačovány ven z buňky. Buňky obepínaly jádro, nebo se odklony směrem od jádra erythrocytu. Erythrocytární buňky infikované parazitem nijak nezmenily svůj tvar a zachovaly si stejnou velikost jako erythrocyty neinfikované.

Naměřené rozměry gamontů hemogregarin z jedince F560 *Amblyraja radiata*. Rozměry gamontů se liší délkou, a to od nejmenších 4,9 μm do největších 7,5 μm (průměr = 6,9; medián: 7,3), dále také měly gamonty rozlišenou šířku, a to od nejmenších 16,1 μm k největším 21,9 μm (průměr = 18,6; medián: 18).

19,8 x 7,3 μm

16,1 x 7,5 μm

20,3 x 4,9 μm

21,9 x 7,2 μm

17,9 x 7,4 μm

18,2 x 6,9 μm

16,8 x 6,6 μm

17,8 x 7,5 μm

17,2 x 7,4 μm

20,4 x 6,4 μm

Na základě morfologie a rozměrů parazita v napadené buňce byl parazit identifikován jako *Haemogregarina delagei*.

### **Izolace DNA produktu**

Nejdříve byla provedena amplifikační reakce PCR s použitím několika různých kombinací primerů (Des233F, Des2200R, Erib1, Erib 10, EimF, EimR). Při snaze získat sekvenci pozitivních výsledků různými kombinacemi primerů, amplifikačními reakcemi, zaklonováním PCR produktu do kompetentních buněk, byly získány dvě sekvence (pomocí klonování, kdy pro tuto reakci byly použity primery Des233F + Des2200R).

Obě sekvence pocházejí ze vzorku DNA C186, což je jedinec F644 rejnoka *Amblyraja radiata*. Osekvěnovány byly 2 klony, výsledné sekvence (bez primerů) mají délku 1360 a 1361 bp.

Tab. 7 Výsledek porovnání sekvencí s databází GenBank pomocí BLASTu (uvedená procenta platí pro Pairwise Identity)

HQ224957	<i>Dactylosoma ranarum</i>	91,1 %
HQ224958	<i>Dactylosoma ranarum</i>	91,1 %
HQ224961	<i>Babesiosoma stableri</i>	90,9 %
KF992714	<i>Hemolivia</i> sp. ex <i>Rhinochlemmys pulcherrima</i>	90,2 %

Došlo k porovnání získané sekvence s databází GenBank pomocí BLASTu a následně byla potvrzena přítomnost parazita.

Tab. 8 Identita shody mezi sekvencemi vyjádřená v procentech

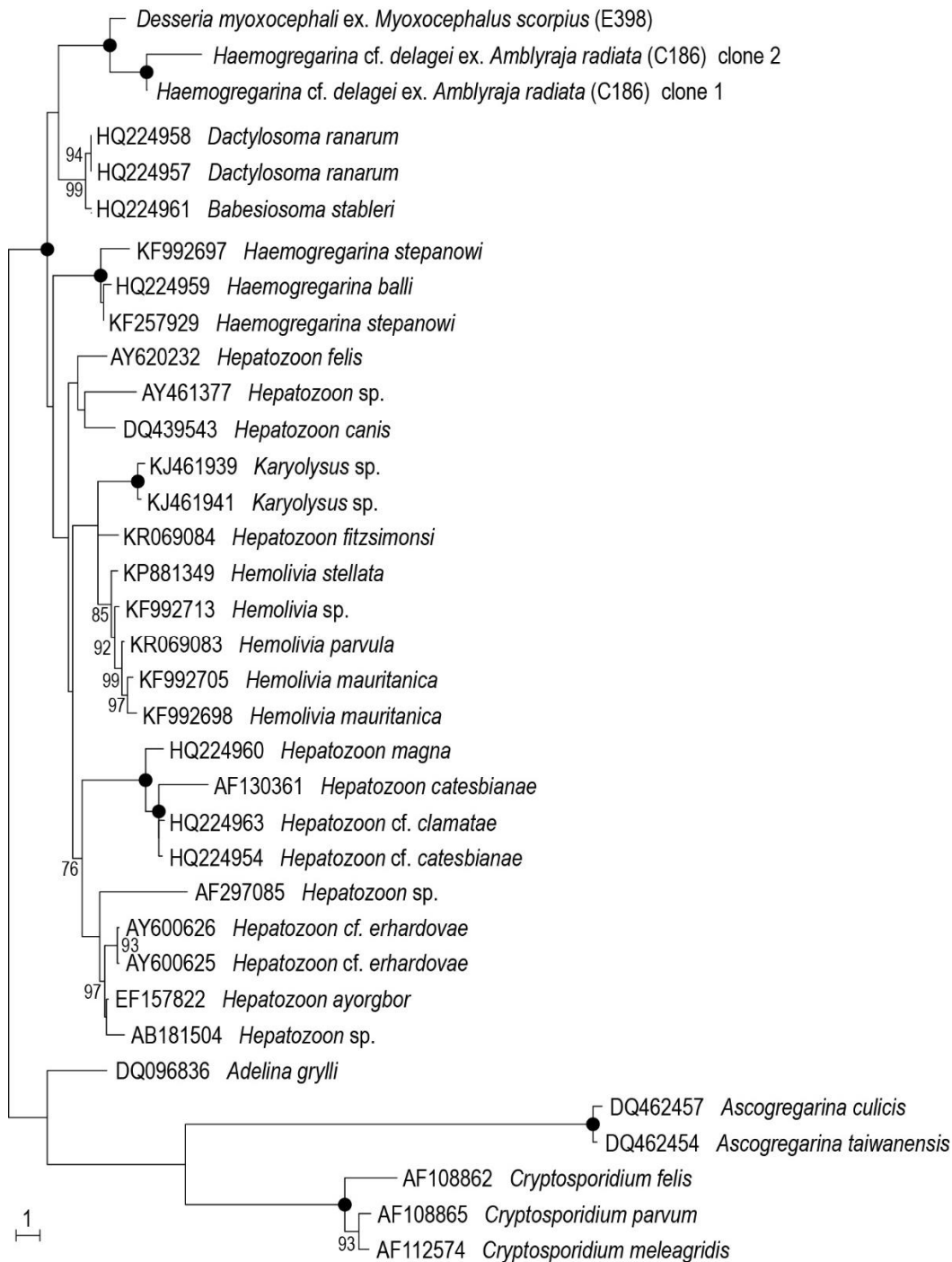
	C186 Amblyr...	C186 Amblyr...	E398 Myoxo...	HQ224957	HQ224958	HQ224961 2
C186 Amblyraja radiata do...		97,553%	96,234%	94,021%	94,064%	93,928%
C186 Amblyraja radiata do...	97,553%		97,872%	95,404%	95,447%	95,333%
E398 Myoxocephalus scorp...	96,234%	97,872%		96,000%	96,043%	95,938%
HQ224957	94,021%	95,404%	96,000%		99,787%	99,480%
HQ224958	94,064%	95,447%	96,043%	99,787%		99,523%
HQ224961 2	93,928%	95,333%	95,938%	99,480%	99,523%	

Tab. 9 Identita vyjádřená v počtu odlišných bází

	C186 Amblyr...	C186 Amblyr...	E398 Myoxo...	HQ224957	HQ224958	HQ224961 2
C186 Amblyraja radiata do...		29	45	71	73	71
C186 Amblyraja radiata do...	29		26	55	57	55
E398 Myoxocephalus scorp...	45	26		47	49	47
HQ224957	71	55	47		5	6
HQ224958	73	57	49	5		8
HQ224961 2	71	55	47	6	8	

2 klony Haemogregarina delagei z rejnoka *Amblyraja radiata* je na společné v tvi s *Desseria myoxocephali* z vranky *Myoxocephalus scorpius*, dále s HQ224957 *Dactylosoma ranarum*, HQ224958 *Dactylosoma ranarum* a s HQ224961 *Babesiosoma stebleri*. Protože ostatní haemogregariny (*H. stepanowi* a *H. balli*) vyšly na jiné v tvi, je otázkou, zda je haemogregarina monofyletický rod.

## Fylogenetická analýza



Obr. 10 Fylogenetická rekonstrukce na základě srovnávání sekvencí 18S rDNA metodou maximální v rohodnosti. P ístupová ísla sekvencí (NCBI databáze) jsou uvedena p ed názvy taxon . Sekvence *Desseria myxocephali* pochází z Pospí ílová (2015). *Ascogregarina* spp. a *Cryptosporidium* spp. slouží jako outgroup. Bootstrapové podpory jsou zobrazeny u jednotlivých uzl , pokud byly vyší ne 70 %. Uzel zvýrazn ý erným bodem dosahoval 100 %.



## 11. Diskuse

Prevalence *Haemogregarina delagei* může být ovlivněna geografickým výskytem a hostitelskými druhy těchto parazitů. V tomto výskytu se prokázal v Passamaquoddy Bay, menší pak u rejnoků v severním Atlantiku, což ale autoři vysvětlují různými hostitelskými druhy (Khan et al., 1980). Nejvyšší prevalence (75 %) *H. delagei* byl zaznamenán v Newfoundlandských vodách, především u rejnoků *Amblyraja radiata* (Khan et al., 1980). Mimo to ale byli tyto paraziti objeveni i v extrémních vodních prostředích jako je Antarktida, Jižní oceán a Severní ledový oceán, tudíž výskyt na Svalbardu není vyloučen (Khan et al., 1992; Davies and Merrett, 2000).

Ve vzorcích krve byly nalezeny haemogregariny, které rejnoky často infikují. Prevalence *Haemogregarina delagei* u rejnoků se mění podle sezóny a dosahuje až 90 %. Přehled infekce *H. delagei* u rejnoků se mění podle různých hostitelských druhů. (Siddall, Desser, 2001). Prevalence *H. delagei* u těchto zkoumaných rejnoků *A. radiata* ze Svalbardu, které jsem vyšetřoval, je 90,48 % a shoduje se s výsledkem prevalence u Siddalla a Dessera (2001).

Rod *Haemogregarina* je charakterizován intraerytrocytární merogonií v rybím/parybím hostiteli (Barta, 2000; Davies and Smit, 2001). Merogonie a gamogonie probíhají v mezihostitelích obratlovců a sporogonie a merogonie probíhají v bezobratlých (například v pijavce) definitivním hostiteli (Davies, 1995). Vzhledem k tomu, že jsem merogonii nepozorovala, je možné, že se objevuje v krvi rejnoků jen výhradně v některých měsících. Například Khan (1972) pozoroval merogonii v krvi rejnoků výhradně jen v listopadu. Během pozorování merogonie bylo zjištěno, že k přenosu *H. delagei* dochází na konci rozmnožování rejnoků, což je na podzim (Khan, 1972). To by vysvětlovalo absenci merogonie u zkoumaných vzorků, jelikož vzorky krve byly odebrány na Svalbardu v letních měsících.

Při mikroskopické diagnostice rozetřeno bylo na jednom z nich nalezeno 79 jedinců parazita, což byl vzorek s nejvyšším počtem parazitů nalezených u *A. radiata*. Otázkou je, zda se v těchto výsledcích opravdu jedná o parazita *H. delagei*, protože v buňkách byly nalezeny pouze gamonty (chybí merogonie). Podle obrázku . 8, kde jsou znázorněna vývojová stadia *Haemogregarina delagei* pod mikroskopem, můžeme porovnat obrázek . 9, kde jsou znázorněny pozorování paraziti mikroskopem. Zatímco u obrázku . 8 můžeme sledovat schizonty, merozoity a gametocyty (Khan, 1971), v případě obrázku . 9 vidíme pouze gamonty uvnitř erytrocytu. V obou případech se na krevních náterech objevují zaoblené nebo šervíkovité tvary intracelulárních organismů stejně tak, jak popisoval *Haemogregarina delagei* i Daviess (1995).

Rodové zařazení parazita *Haemogregarina bigemina* bylo v n kterých p ípadech taktéfi zpochyb ováno (Laveran and Mesnil, 1901). Ve svém typovém hostiteli a jiných rybách *H. bigemina* podstoupil intraerytrocytárním binárním d lení, a nakonec se vytvo ily zralé spárované gamonty (Davies et al., 1995). Intraleukocytární fáze je sice také vykazována, ale ne u t chto typ hostitel (Davies et al., 2004). N které haemogregariny jsou p ená-eny pijavkami (Davies et al., 2004). Ov-em tam, kde byla studována rybí populace nakaflená parazitem *H. bigemina*, tam kroufkovci nalezeni nebyli. Krevsající larvy stejnonofce eledi Gnathiidae se vyskytovaly na t chto rybách, a tudífi mohly být snadno infikovány (Davies, 2004). Je známo, fe infekci lze detekovat i u velmi mladých p íb efních ryb m ící pod 4 cm (Laird et al., 1953). Podle Daviese a Johnstona (1987) vertikální nebo fekáln -orální p enos byl u takto malých ryb vylou en (Davies et al., 2004). Vektorem jsou tedy pijavky nebo larvy stejnonofce, které se chovají stejn jako klí- ata (Smit, 2003).

Nalezené haemogregariny v rejnocích byly molekulárn charakterizovány. Byly vyzkou-eny r zné kombinace primer , protofe fládné specifické primery pro rybí/parybí haemogregariny neexistují. Jedním z problém mohlo být to, fe pouflit primery byly navrflené pro plazí i pta í haemogregariny, proto n kdy nesed ly na parybí. Primery Des233F a Des2200R se osv d ily pro PCR nejvíce a pomocí molekulárního klonování se poda ilo získat dv sekvence. Lze je tedy doporu it pro dal-í práci s tímto materiálem.

Z fylogenetické analýzy vyplývá, fe *Haemogregarina delagei* je nejvíce p íbuzná k *Desseria myoxocephali* ó hostitelem vranka *Myoxocephalus scorpius*, jelikofi k ní vy-la jako sestreská skupina. Dále také k *Dactylosoma ranarum* (hostitelem flába) a *Babesiosoma stableri* (hostitelem pijavka *Batracobdella picta*). Ostatní haemogregariny (*H. stepanowi* ó hostitelem pijavka, *H. balli* hostitelem pijavka) jsou na jiné v tvi. Podle na-í analýzy je roh haemogregarina polyletický. D vodem p íbuznosti m fe být také vektor, kterým je v t chto p ípadech pijavka. Jinde haemogregarina podporuje d íve vyslovenou hypotézu, fe haemogregariny jsou polyfyletické. Tento úkaz by m l být zrevidovaný.

Budoucím cílem by m lo být molekulárn -fylogenetické srovnání *H. delagei* z r zných lokalit a hostitel , zda jsou v-ichni zástupci stejného druhu. Dále je také d leflité se zam ít v oblasti výzkumu na p ena-e e t chto parazit . Bylo by dobré potvrdit p enos pijavkami jak molekulárn , tak i mikroskopicky. Podobn jako haemogregariny i popis ostatních rod z této skupiny je zaloflen na podrobnostech jejich flivotního cyklu a morfologii. Protofe p íbývají údaje o jejich genetické struktu e, eká tuto skupinu výrazná revize, která by zahrnovala data.

## 12. Závěry

Celkem bylo vyšetřeno na krevních parazitech 157 jedinců z ryb a paryb. Materiál byl odebrán v roce 2015 na souostroví Svalbard.

- Celkem bylo pouze 30 pozitivních krevních nátěrů, a to u rejnoka *Amblyraja radiata* a ryby *Myoxocephalus scorpius*.
- U krevních nátěrů z rejnoka *Amblyraja radiata* bylo nalezeno 19 pozitivních jedinců, prevalence 90 %. U vranky *Myoxocephalus scorpius* bylo nalezeno 11 pozitivních jedinců parazita, prevalence 16 %.
- Ve všech případech se jednalo o intracelulární zástupce skupiny Apicomplexa, konkrétně druhu *Haemogregarina delagei* (Adeleorina).
- Vhodnými a úspěšnými primery pro tuto metodu, se kterými jsem pracovala byly Des233F, Des2200R v kombinaci s Erib1 a Erib10.
- Částečná shoda byla nalezena s parazity skupiny Adeleorina.

### 13.Literatura

- BARTA J.R., MARTIN D.S., LIBERATOR P.A., DASHKEVICZ M., ANDERSON J.W., FEIGHNER S.D., ELBRECHT A., PERKINSON-BARROW A., JENKINS M.C., DANFORTH H.H., RUFF M.D., PROFOUS-JUCHELKA H., 1997. Phylogenetic relationship among eight *Eimeria* species infecting domestic fowl inferred using complete small subunit ribosomal DNA sequences. *Journal of Parasitology*. 83, 262-271.
- BARTA J.R., 2000. Suborder Adeleorina Léger. 1911. In: LEE J.J., LEESDALE G.F., BRADBURY P. (Eds.), Kansas: *The Illustrated Guide to the Protozoa*. Vol. I, Second Edition. Allen Press, Lawrence, pp. 305-318
- COMPAGNO L.J.V., 1984. An annotated and illustrated catalogue of sharks species known to date, pt. 1: Haxanchiformes to Lamniformes. In: *FAO species Catalogue of the world*. Vol 4. *Sharks of the world FAO Fish Synop.* 1-249 pp. COMPAGNO L.J.V., 2001. *Sharks of the World*. 2. vydání. Italy. Spec. Catalogue for Fishery Purposes. 249 p. ISBN 92-5-1045-43-7.
- COWMAN, A.F., CRABB, B.S., 2006. Invasion of Red Blood Cells by Malaria Parasites. *Science direct*. 124, 755-766, doi: 10.1016/j.cell.2006.02.006
- DAVIS H.S., HOFFMAN G.L., SURBER E.W., 1961. Notes on *Sanguinicola Davisi* (Trematoda: Sanguinicolidae) In the Gills of Trout. *The Journal of parasitology*. 47, 512-514.
- DAVIES A.J., EIRAS J.C., AUSTIN R.T.E., 1994. Investigations into the transmission of *Haemogregarina bigemina* Laveran and Mesnil, 1901 (Apicomplexa: Adeleorina) between intertidal fishes in Portugal. *Journal Fish Diseases*. 17, 283-289.
- DAVIES A.J., 1995. The biology of fish haemogregarines. *Advances i Parasitology*. 36, 117-203, doi: 10.1016/S0065-308X(O8)60491-1
- DAVIES A.J., SMIT N.J., 2001. The life cycle of *Haemogregarina bigemina* (Adeleina:Haemogregarinidae) in South African hosts. *Folia Parasitologica*. 48, 169-177

- DEAN M.N., SUMMERS A.P., 2006. Mineralized cartilage in the skeleton of chondrichthyan fishes. *Zoology*. 109, 164-168.
- DIDIER D.A., KEMPER J.M., EBERT D.A., 2012. Phylogeny, biology and Classification of Extant Holocephalans. *Biology of sharks and their relatives*. 4, 97-122
- DOLGOV A.V., DREVETNYAK K.V., GUSEV E.V., 2005. Status of Skate Stocks in the Barents Sea. *Journal North. Atl. Fish. Sci*, 35, 249-260. doi:10.2960/J.v35.m522
- EBERT D.E., BIZZARO J.J., 2007, Standardized diet compositions and trophic levels of skates (Chondrichthyes: Rajiformes: Rajoidei). *Environmental Biology fish*. 80, 22-237, doi: 0.1007/s10641-007-9227-4
- EIRAS J.C., SEGNER H., WAHLI T., KAPPOR G.B., 2009. Fish diseases. *BioMed Central*. 2, 46. doi: 10.1186/1756-3305-2-46.
- GALLANT J., CLARK C.H., MYERS R.A., STOKESBURY M.J.W., 2006. Sea Lamprey Attached to a Greenland Shark in the St. Lawrence Estuary, Canada. *Northeastern Naturalist*. 13, 35-38.
- GARCÍA V.B., LUCIFORA L.O., MYERS R.A., 2008. The importance of habitant and life history to extinction risk in sharks, skates, rays and chimaeras. *Proc. R. Soc. B*. 275, 83-89. doi: 10.1098/rspb.2007.1295
- GOSSAGE S.M., ROGERS M.E., BATES P.A., 2003. Two separate growth phases during the development of *Leishmania* in sand flies: implications for understanding the life cycle. *International Journal Parasitology*. 33,1027-1034.
- GRYDEHØJ A., GRYDEHØJ A., ACKRÉN M., 2012. The Globalization of the Arctic: Negotiating Sovereignty and Building Communities in Svalbard, Norway. *Island Studies Journal*. 7, 99-118.
- GRYSELS B., POLMAN K., CLERINX J., KESTENS L., 2006. Human schistosomiasis. *Lancet*. 368, 1106-1118.

- HAGEN J.O., LIESTØL O., ROLAND E., JØRGENSEN T., 1993. *Glacier Atlas of Svalbard and Jan Mayer*. Oslo: Meddelelser Nr. 129., 143 p. ISBN 82-7666-066-5
- HAMLETT W.C., 1999. *Sharks, skates and rays*. USA: The biology of Elasmobranch fishes. 491 p. ISBN 0-8018-6048-2
- HAYES P.M., SMIT N.J., SEDDON A.M., WERTHEIM D.F., DAVIES A.J., 2006. A new fish haemogregarine from South Africa and its suspected dual transmission with trypanosomes by a marine leech. *Folia Parasitologia*. 5, 241-248. doi: 10.14411/fp.2006.031
- HAYES P.M., WERTHEIM D.F., SMITH N.J., SEDDON A.M., DAVIES A.J., 2011. Tree ó dimensional visualisation of developmental stages of an apicomplexan fish blood parasites in its invertebrae host. *Parasites and Vectors*. 4, 21.
- HEINICKE M.P., NAYLOR G.J.P., HEDGES S.P., 2009. Cartilaginous fishes (chondrichthyes) in the time of life S. B. Hedges and S. Kumar, Eds. *Oxford Biology*. 320-327.
- HISDAL V., 1998. *Svalbard Nature and History*. Oslo: POLARHÅNDBOK 12., 127 p. ISBN 82-7666-152-1
- HUSSEY N.E., GODIN A.C., WALTER R.P., HEDGES K.J., TOYNE M.G, BARKLEY A.N., KESSEL S.T., FISK A.T., 2014. Juvenile Greenland sharks *Somniosus microcephalus* (Bloch & Schneider, 1801) in the Canadian Arctic. *Polar Biology*. 1-12. doi: 10.1007/s00300-014-1610-y.
- CHEVOLOT M., WOLFS P.H.J., PÁLSSON J., RIJNSDORP A.D., STAM W.T., OLSEN J.T., 2007. Population structure and historical demography of the thorny skate (*Amblyraja radiata*, Rajidae) in the North Atlantic. *Marine Biology*. 151, 1275-1286. doi: 10.1007/s00227-006-0556-1
- JAMES W.W., 1953. The Succession of teeth in elasmobranchs. *Journal of Zoology*. 123, 419-474. doi: 10.1111/j.1096-3642.1953.tb00183.x

- JAVANBAKHT H., SHARIFI M., 2014. Prevalence and intensity of *Haemogregarina stepanowi* (Apicomplexa: Haemogregarinidae) in two species of freshwater turtles (*Mauremys caspica* and *Emys orbicularis*) in Iran. *Journal of Entomology and Zoology Studies*. 2, 155-158. ISSN: 2320- 7078.
- KHAN R.A., 1972. Developmental stages of haemogregarina delagei Laveran and Mesil in an elasmobranch, Raja radiata Donovan. *Canadian Journal of Zoology*. 50, 906-907. doi: 10.1139/z72-122.
- KHAN R.A., FORRESTER D.J., GOODWIN T.M., ROSS C.A., 1980. A haemogregarine from the American alligator (*Alligator mississippiensis*). *The Journal of Parasitology*. 66, 324-328.
- KIRK R.S., LEWIS J.W., 1993. The life-cycle and morphology of *Sanguinicola inermis* Plehn (Digenea: Sanguinicolidae). *Systematic Parasitology*. 25, 125
- KIRMSE P., 1980. Observations on the pathogenicity of *Haemogregarina sachai* Kirmse, 1978, in farmed turbot *Scophthalmus maximus* (L.) *Journal of fish diseases* 3, 125-133. doi: 10.1007/BF00009982
- KOTRSCHAL K., STAADEN M.V.J., HUBER R., 1998. Fish Brains: Evolution and Environmental relationships. 8, 373-408. doi: 10.1023/A:1008839605380
- KVÍEROVÁ J., PAKANDL M., HYPŠA V., 2008. Phylogenetic relationships among *Eimeria* spp. (Apicomplexa, Eimeriidae) infecting rabbits: Evolutionary significance of biological and morphological features. *Parasitology*. 135, 443-452.
- UBREIT A., 2009. *Spitsbergen Svalbard Franz Josef Land and Josef Mayer*. USA: The Bradt Travel Guide. 4, 218 p. ISBN 13:978-1-84162-240-8.
- LAIRD M., 1953. The protozoa of New Zealand intertidal zone fishes. *Trans. R. Soc. New Zealand*. 81, 79-143.
- LAVERAN A., MESNIL F., 1901. Deux hémogregarines nouvelles des poissons. *C.R. Academy Science Paris*. 133, 572-577.

- LECLERS L.M.E., LYDERSEN C., HAUG T., BACHMANN L., FISK A.T., KOVACS K.M., 2012. A missing piece in the Arctic food web puzzle? Stomach contents of Greenland sharks sampled in Svalbard, Norway. *Polar Biology*. 35, 1197-1208. doi: 10.1007/s00300-012-1166-7.
- LINGHAMMAR A., 2014. Identification Guide for Skates (Chondrychthies; Rajiformes) in Norwegian waters, for both sexes and all stadiums. Identification Guide for Skates in Norwegian Waters. 8, 3-8.
- LONG D.J., 1994. Quaternary colonization of peleogene persistence? Historical biogeography of skates (Chondrychthies Rajidae) in the Antartic Ichthyofauna. *Paleobiology*. 20, 215-228.
- LYNHAMMAR A., CHRISTIANSES J.S., MECKLENBURG C.W., KARAMUSHKO O.V., MOLLER P.R., GALLUCCI V.F., 2013. Species richness and distribution of Choyndrychtian fishes in the Arctic ocean and adjecent seas. *Journal Biodiversity*. 14, 57-66. doi: 10.1080/14888386.2012.706198.
- MACNEIL M.A., MCMANS B.C., HUSSEY N.E., VESCEI P., SVAVARSOON J., KOVACS K.M., LYDERSEN C., TREBLE M.A., SKOMAL G.B., RYMSEY M., FISK A.T., 2012. Biology of the Greenland shark *Somniosus microcephalus*. *Journal Fish Biology*. 80, 991-1018. doi: 10.1111/j.1095-8649.2012.03257.
- MECKLENBURG C.W., MECKLENBURG C.W., THORNSTEINSTON L.K., 2002. *Fishes of Alaska*. American Fisheries Society: Bethesda. ISBN 1-888569-07-7, 1037 p.
- MERRETT N.G., HAEDRICH R.L., 1997. *Deep-sea demersal fish and fisheries*. UK: Champan and Hall. 253 p. ISBN 0-412-39410-3.
- MILON G., 2009. Perpetuation of *Leishmania*: some novel insight into elegant developmental programs. *Journal of Animal Infection*. 40, 38-48. doi: 10.1051/vetres/2009021
- MORRISON D.A., 2009. Evolution of the Apicomplexa: where are we now? *Trends Parasitology*. 25, 82-375. doi: 10.1016/j.pt.2009.05.010.



- MORRISSETTE N.S., SIBLEY L.D., 2002. Cytoskeleton of Apicomplexa Parasites. *Microb. Molec. Biol. Rev.* 66, 21-38.
- MURRAY H.W., BERMAN J.D., DAVIES C.R., SARAVIA N.G., 2005. Advances in leishmaniasis. *The Lancet.* 366, 1561-1577. doi: 10.1016/S0140-6736(05)67629-5.
- MØLLE I., CHRISTENSEN K.L., HANSEN P.S., DRAGSTED U.B., AARUP M., BUHL M.R., 2000. Use of Medical Chemoprophylaxis and Antimosquito Precautions in Danish Malaria Patients and their Traveling Companions. *Journal of Travel Medicine.* 7, 253-258. doi: 10.2310/7060.2000.00074
- NIELSEN J., HEDEHOLM R.B., MALENE S., STEFFENSEN J.F., 2014. Distribution and feeding ecology of the Greenland shark (*Somniosus microcephalus*) in Greenland waters, *Polar Biology.* 37, 37-46. doi: 10.1007/s00300-013-1408-3.
- NIELSEN J., HEDEHOLM R.B., HEINEMEIER J., BUSHNELL P.G., CHRISTIANSEN J.S., OLSEN J., RAMSEZ C.R., BRILL R.W., SIMON M., STEFFENSEN K.F., STEFFENSEN J.F., 2016. Eye lens radiocarbon reveals centuries of longevity in the Greenland shark (*Somniosus microcephalus*). *Science* Long in the tooth, 400 year-old-shark in Arctic water 353, 702-704.
- OVERATH P., HAAG J., MAMEZA M.G., LISCHKE A., 2009. Freshwater fish trypanosomes: definition of two types, host control by antibodies and lack of antigenic variation. *Search Parasitology.* 119, 59-601.
- RØNNING O.I., 1996. *The flora of Svalbard. POLARHÅNDBOK* 10. Oslo: 5-184. ISBN 82-7666-100-9.
- RYTAVÝ B., ERNÁ fi., CHALUPSKÝ J., ORSZÁGH I., VOJTEK R., 1988. *Základy Parazitologie.* Praha: 7-204. ISBN 80-04-20864-9.
- SIDDALL M.E., 1995. Phylogeny of adeleid blood parasites with a partial systematic revision of the haemogregarine complex. *Journal Eucaryot. Microbiology.* 42, 116-125.

- SIDDALL M.E., DESSER S.S., 1993. Ultrastructure of merogonie development of *Haemogregarina* (sensu lato) Myoxocephali (Apicomplexa: Adeleina) in the marine leech *Malmiana scorpii* and localization of infective stages in salivary glands. *Eur Journal Protistology*. 29, 191-201.
- SIDDALL M.E., DESSER S.S., 2001. Developmental stages of *Haemogregarina delagei* in the leech *Oxytonostoma typica*. *Canadian Journal of Zoology*. 79, 1897-1900. doi: 10.1139/z01-136
- SMIT N.J., VAN AS J.G., DAVIES A.J., 2003a. Taxonomic re-evaluation of the South African fish haemogregarine, *Desseria fragilis*. *Journal Parasitology*. 89, 151-153.
- SMIT N.J., DAVIES A.J., 2005. Intraerythrocyt merogony in *Haemogregarina koppiensis* (Apicomplexa: Adeleorina: Haemogregarinidae). *Folia Parasitologica*. 52, 277-278.
- SMITH T., SANDERS M., 2011. The Northwest Atlantic Distinct Population Segment (DPS) of the Thorny Skate (*Amblyraja radiata*) as an Endangered or Threatened Species or, Alternatively, to List the United States DPS of the Thorny Skate as an Endangered Species UNDER THE U.S. ENDANGERED SPECIES ACT. *Animal Welfare Institute*. 202, 1-20.
- SULOWSKI J.A., KNEEBONE J., ELZEY S., JUREK J., DANLEY P.D., HOWELL W.H., TSANG C.W., TSANG P., 2005. Age and growth estimates of the thorny skate (*Amblyraja radiata*) in the western Gulf of Maine. *Biological Sciences Scholarship*. 103, 161-168.
- SULOWSKI J.A., KNEEBONE J., ELZEY S., JUREK J., DANLEY P.D., HOWELL W.H., TSANG C.W., TSANG P., 2005. The reproductive cycle of the thorny skate (*Amblyraja radiata*) in the western Gulf of Maine. *Biological Sciences Scholarship*. 103, 536-543.
- TELEFORD Jr. S.R., BUTLER J.F., TELEFORF R.S., 2002. Hepatozoon species (Apicomplexa: Hepatozoide) of the corn snake, *Elaphe guttata* (Serpentes: Colubridae) and pigmy rattlesnake, *Sistrurus miliarius barbouri* (Serpentes: Viperidae) in south Florida. *Journal of Parasitology*. 88, 772-778.

- TELEFORF Jr. S.R., ERNST J.A., CLARK A.M., BUTLER J.F., 2004. Hepatozoon sauritus: a polytopic hemogregarine of three genera and four species of snakes in northern Florida, with specific identity verified from genome analysis. *Journal of Parasitology*. 90, 352-358.
- TRAMPUS A., JEREB M., MUZLOVIC J., PRABHU R.M., 2003. Clinical review: Severe malaria. *BioMed Central, Critical care*. 7, 315-320. doi: 10.1186/cc2183.
- VOLF P., HORÁK P., EPIKA J., FLEGR J., LUKE<sup>TM</sup>J., MIKE<sup>TM</sup>L., SVOBODOVÁ M., VÁVRA J., VOTÝPJA J., 2007. *Paraziti a jejich biologie*. Praha 10: TRITON, 291 p. ISBN 978-807387-008-9.
- WALES J.H., 1958. Two new blood fluke Parasites of trout. *California Fish and Game*. 44, 125-136.
- WESLAWSKI J.M., PROMINSKA A., 2013. *European Arctic ó sea users guide*. Institute of Oceanology Polish Academy Of Sciences. Poland: Sopot. 107 p. ISBN 978-83-928355-5-4.
- YANO K., STEVENS J.D., COMPAGNO L.J.V., 2004. Review of the systematics of the sleeper shark genus *Somniosus* (*Somniosus*) with redescription of *Somniosus* (*Somniosus*) *antarcticus* and *Somniosus* (*Rhinoscimnus*) *longus* (Squaliformes, Somniosidae). *Ichthyological Research*. 51, 360-373.
- YOPAK K.E., MONTGOMERY J.C., 2008. Brain Organization and Specialization in Deep-sea chondrichthyans. *Brain Behaviour Evolution*. 71, 287-304. doi: 10.1159/000127048.

**URL:**

URL 1: [https://en.wikipedia.org/wiki/Svalbard#/media/File:Topographic\\_map\\_of\\_Svalbard.svg](https://en.wikipedia.org/wiki/Svalbard#/media/File:Topographic_map_of_Svalbard.svg)

URL 2: <http://otlibrary.com/greenland-shark/>

URL 3: <http://www.elasmodiver.com/ThornySkate.htm>

URL 4: <http://maps.iucnredlist.org/map.html>

URL 5: [http://apps.who.int/iris/bitstream/10665/144852/2/9789241564830\\_eng.pdf](http://apps.who.int/iris/bitstream/10665/144852/2/9789241564830_eng.pdf)

## **14.Seznam zkratk**

BLAST Basic Local Alingment Search Tool

DNA deoxyribonukleová kyselina

dNTP deoxynukleotid

EDTA ethylendiamintetraoctová kyselina a její soli

ELFO Elektroforéza

NCBI National Center of Biotechnology Information

PCR Polymerázová et zová reakce

RNA Ribonukleová kyselina

SDS sodium dodecyl sulfát

SOC Super Optimal broth with Catabolite repression

TBE tris borát edta